

Эволюционная иммунология

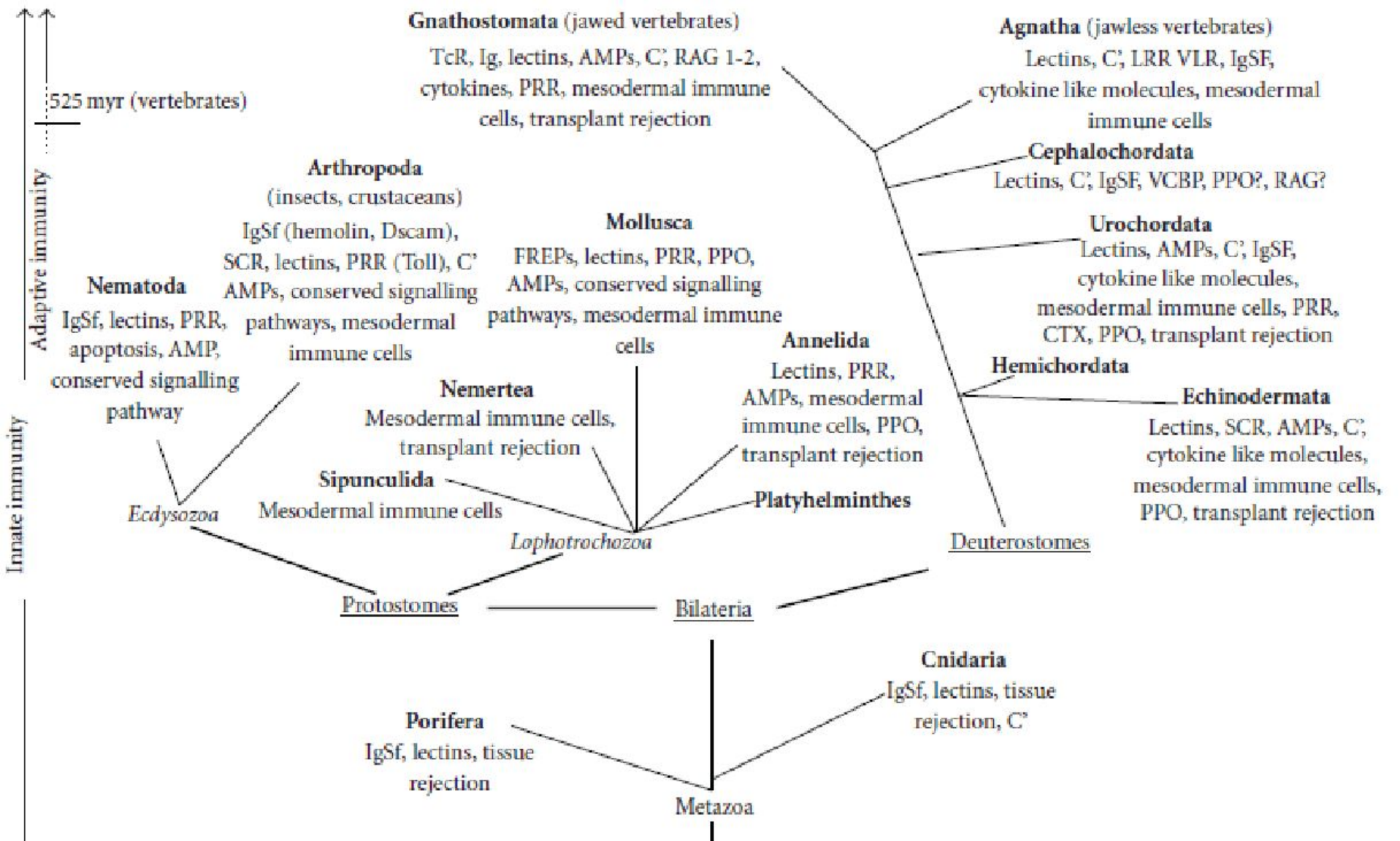
Лекция 6 «Разнообразии иммунных реакций беспозвоночных»



Шилов Е.С.
19 марта 2018

Иммуноциты беспозвоночных

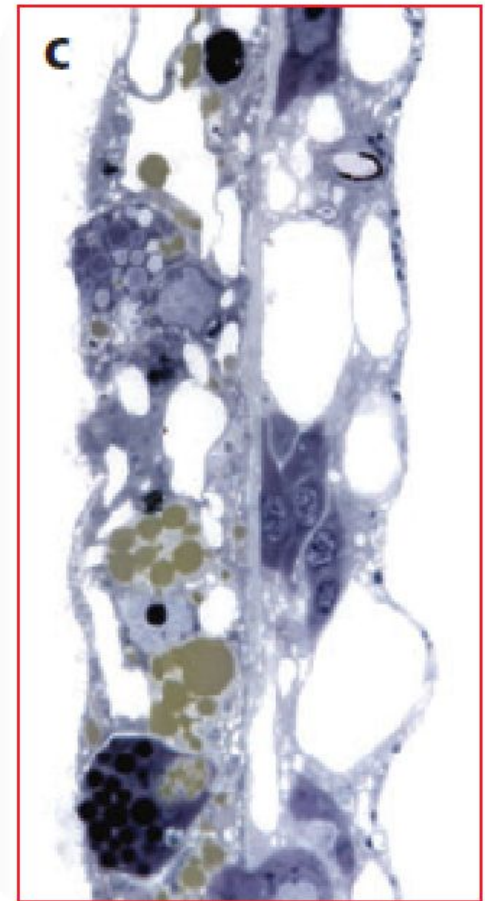
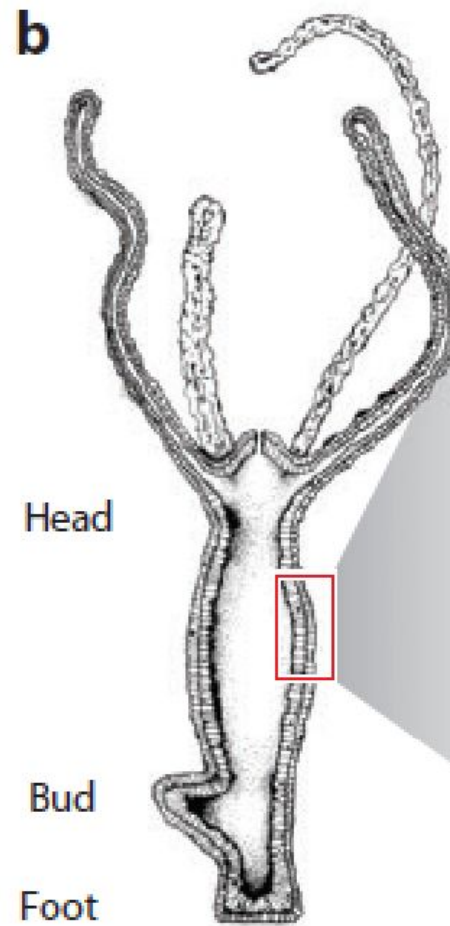
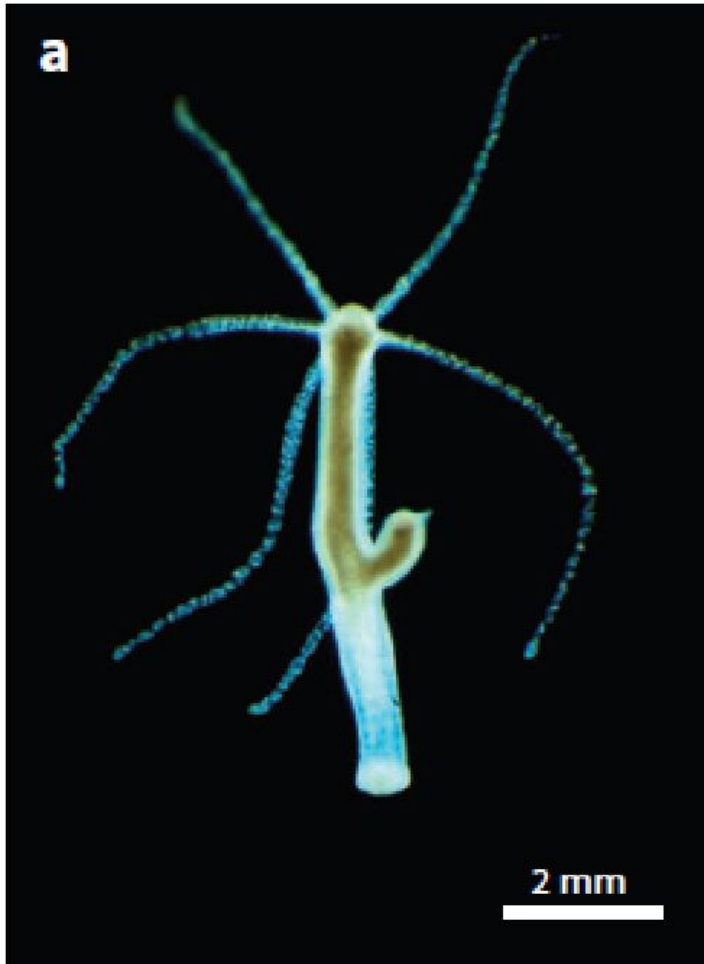
| Таксон | Макрофагоподобные клетки | Лимфоциты и лимфоцитоподобные клетки | Очаги гемопоэза |
|-------------------|-----------------------------------|--|---|
| Губки | Блуждающие амебоциты (архециты) | — | — |
| Кишечно-полостные | Блуждающие амебоциты | — | — |
| Немертины | Гиалиновые амебоциты | Лимфоцитоподобные амебоциты | — |
| Кольчатые черви | Гиалиновые амебоциты (нейтрофилы) | Лимфоцитоподобные клетки двух типов (базофилы) | Парные узелки в целоме, гемопоэтическая ткань в алиментарном кровяном синусе |
| Моллюски | Гиалиновые амебоциты | Лимфоцитоподобные клетки | Гемопоэтическая ткань целома. «Белое тело» головоногих моллюсков |
| Членистоногие | Плазматоциты | Прогемоциты | Гемопоэтические участки в различных частях тела |
| Иглокожие | Фагоцитирующие амебоциты | Лимфоциты | Аксиальный орган |
| Оболочники | Макрофаги | Лимфоциты | Лимфатические узелки в глоточной стенке, вокруг пищеварительного тракта, в стенках тела |



AMP: antimicrobial peptides
 C': complement pathway elements
 CTX: cortical thymocytmarker in *Xenopus*
 Dscam: drosophila homolog for Down syndrome cell adhesion molecule
 FREPs: fibrinogen related peptides
 IgSf: immunoglobulin superfamily

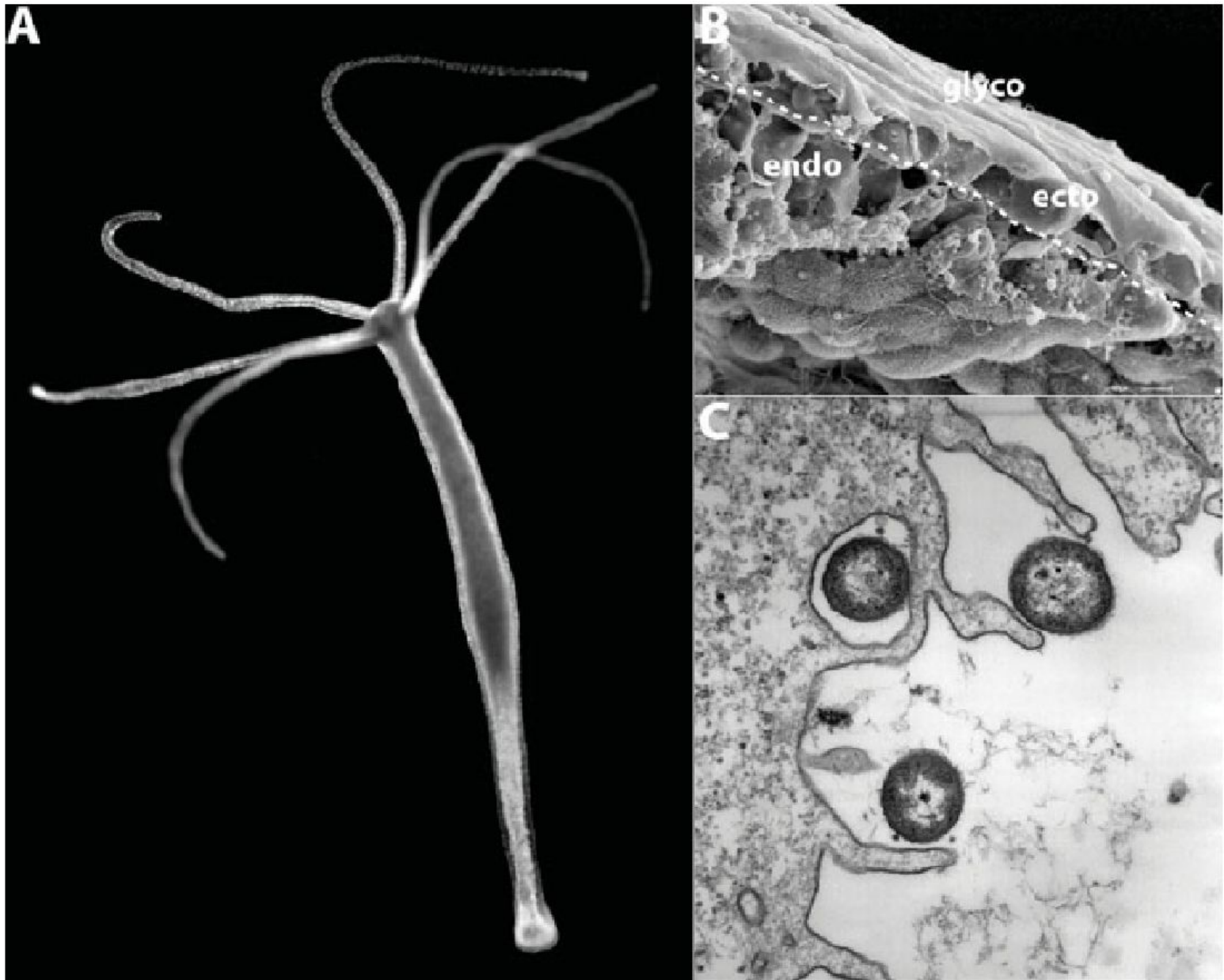
LRR VLR: variable lymphocyte receptors with leucine rich repeats
 PPO: prophenoloxidase cascade
 PRR: pattern recognition receptors
 RAG: recombination-activating genes
 SCR: scavenger receptors
 VCBP: variable chitin binding proteins
 TCR: T cell receptor

Строение гидры

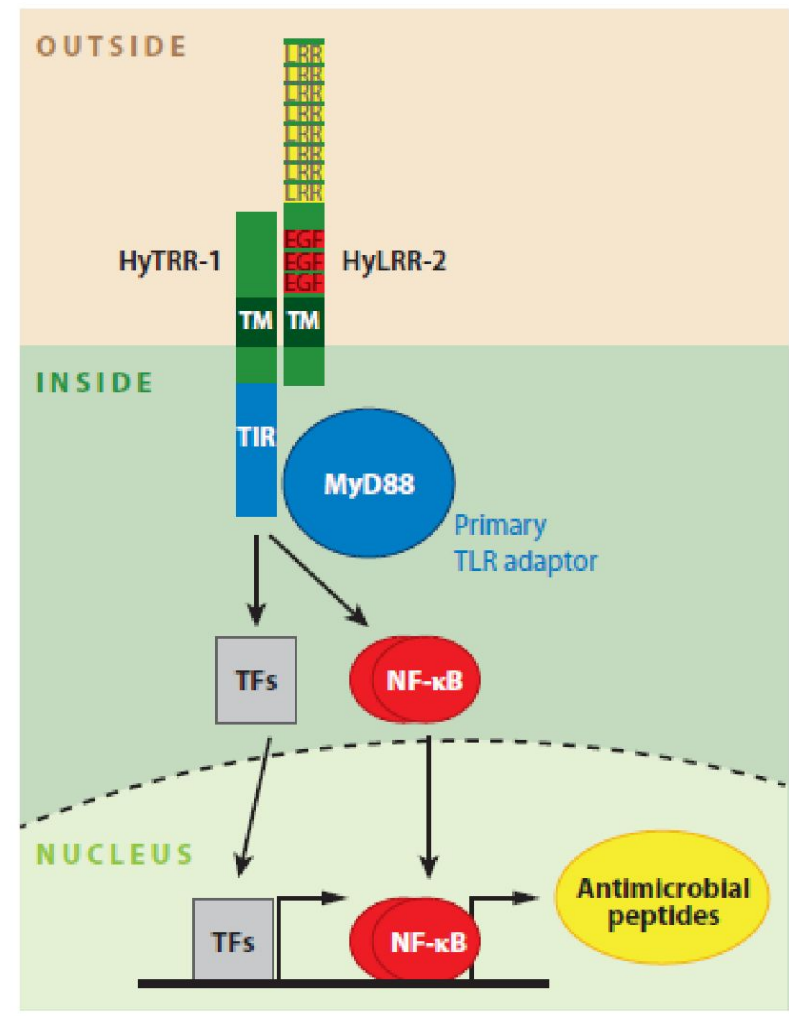
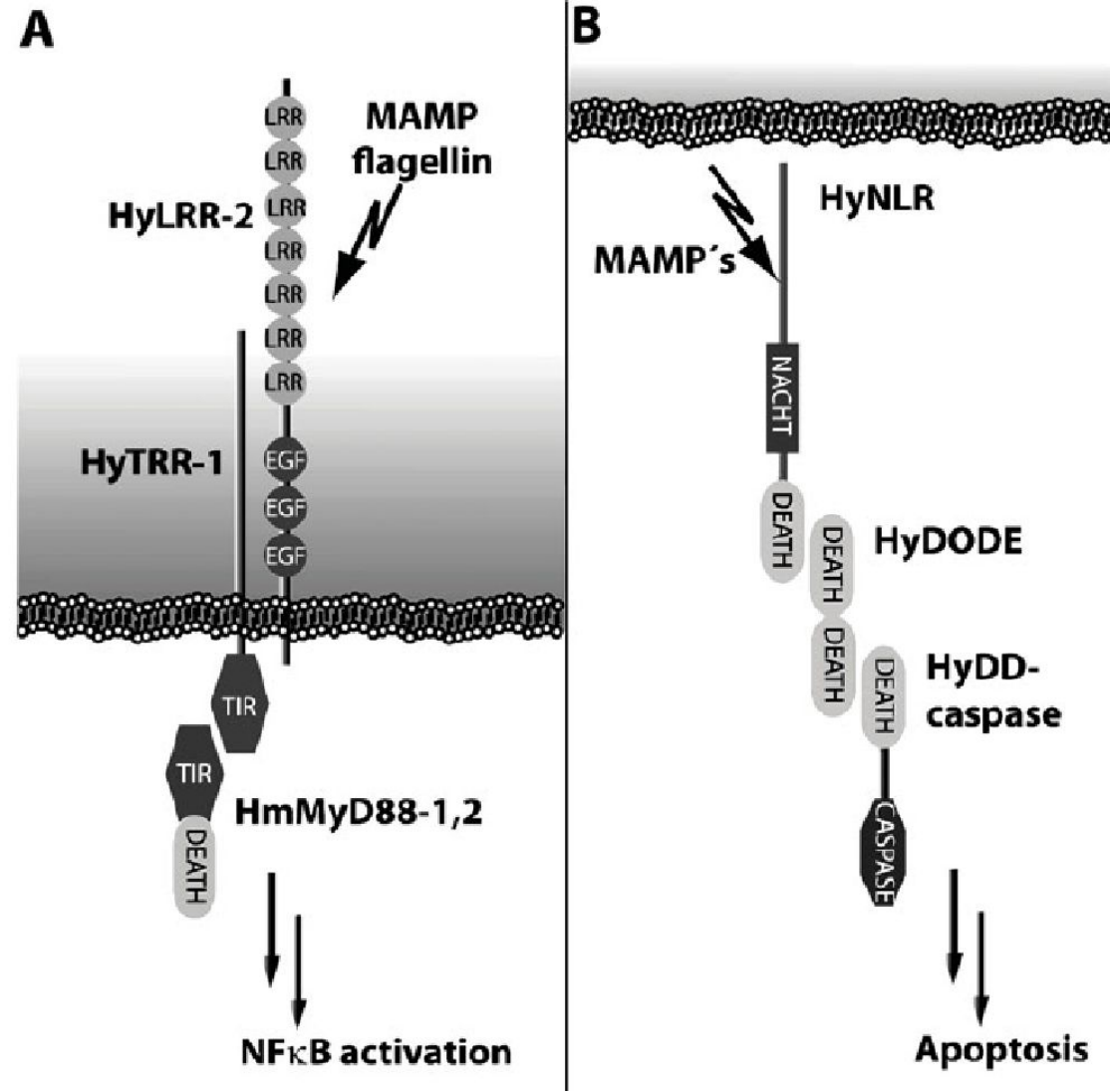


Endoderm ECM Ectoderm (mesoglea)

Эпителиальные клетки гидроидных способны к фагоцитозу



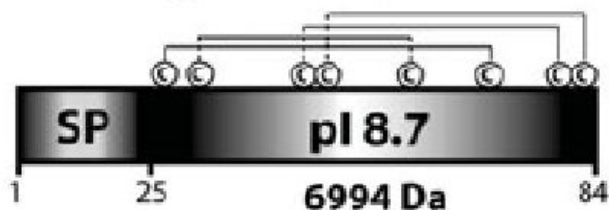
У кишечнополосчатых есть собственные TLR- и NLR - рецепторы



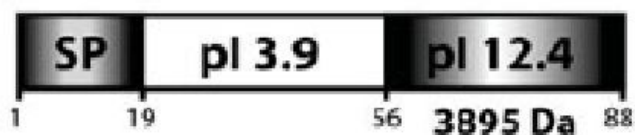
Антимикробные пептиды книдарий

A

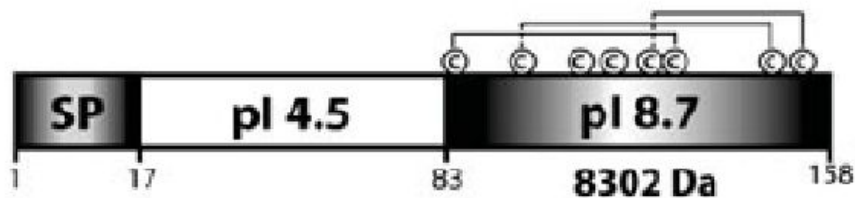
Hydramacin-1



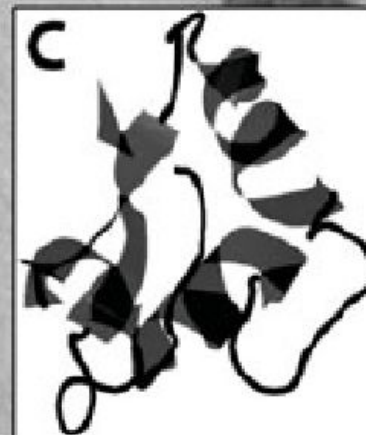
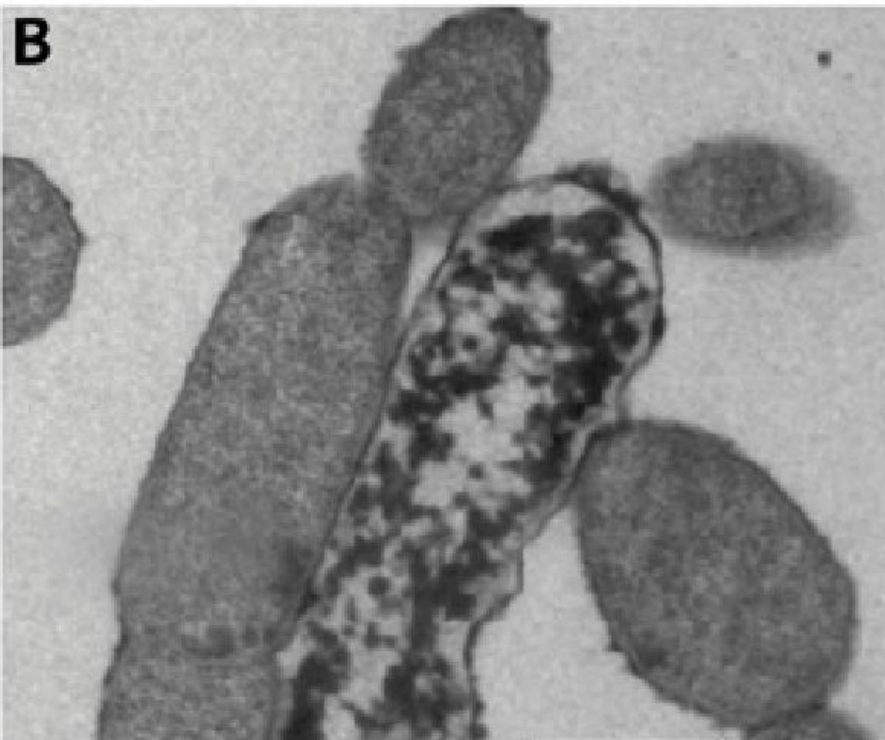
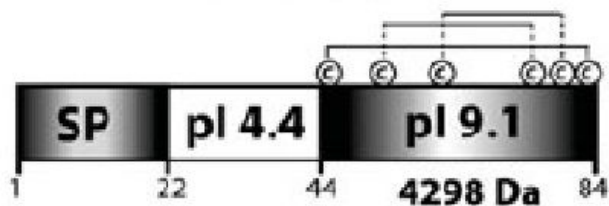
Arminin 1a



Periculin-1



Aurelin



Странный белок дождевого червя CCF

Белок жидкости целомической полости массой 42 кДа, распознаёт (?) О-антиген ЛПС, мурамилдипептиды, мурамовую кислоту, бета-люканы, диацетилхитобиозу.

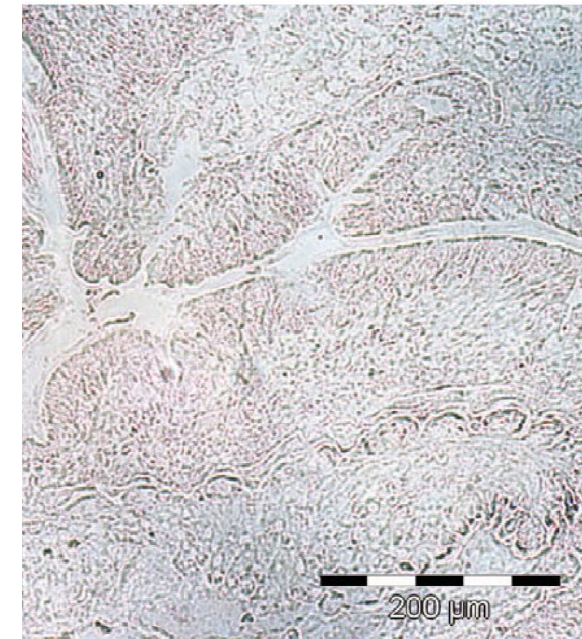
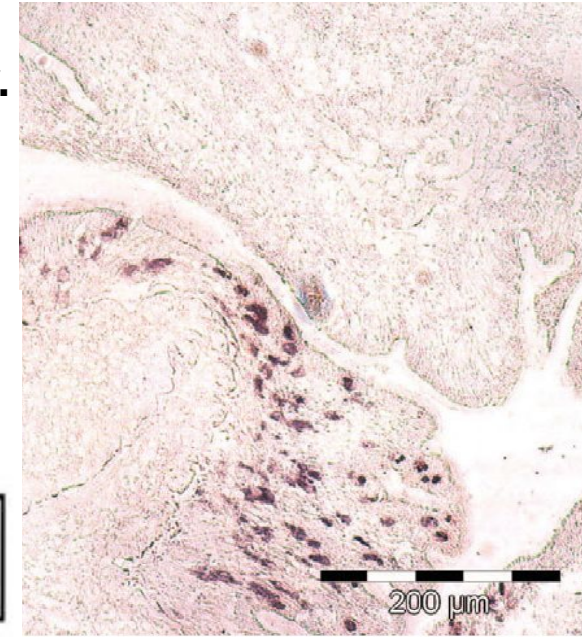
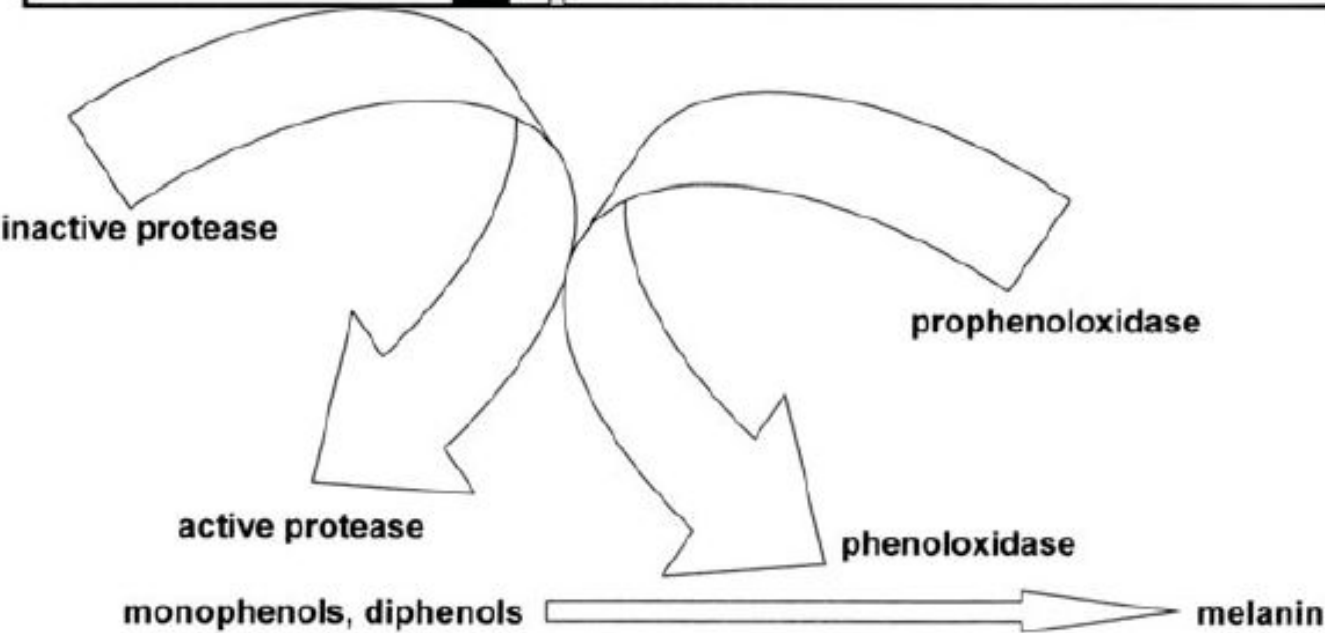
Активирует профенолоксидазу, опсонизирует клетки патогенов, его синтез индуцируется ЛПСом, а сам он лизирует клетки L929 (и другие тоже). Так ли это?

Interaction with
Gram-negative
bacteria and
yeast

Interaction with Gram-positive bacteria,
trypanosomes and mammalian cells

CCF

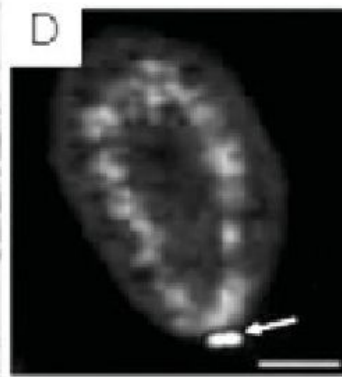
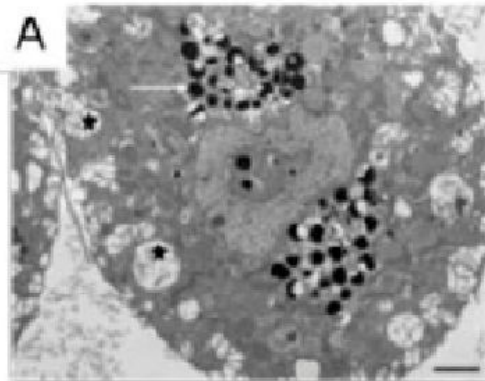
W-rich C-terminal part



Хлорогенные клетки, малые целомоциты и амёбоциты кольчатых червей

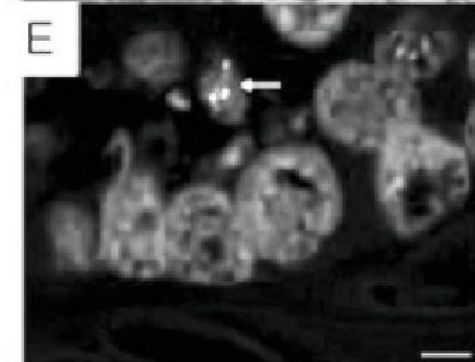
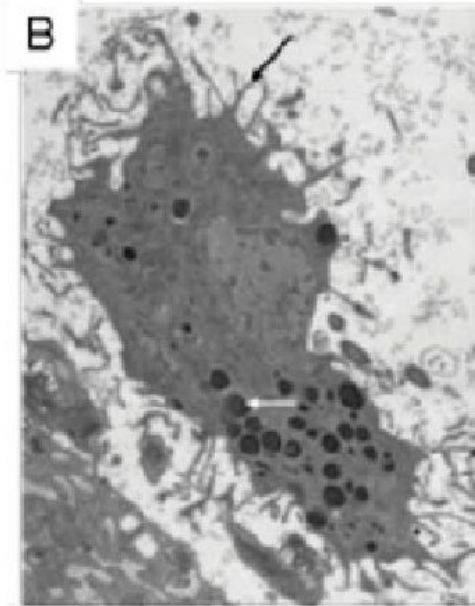
Chloragocytes (100-150 μm)

- Tt cathepsin L and cystatin B immunoreactivity
- Bacteria binding



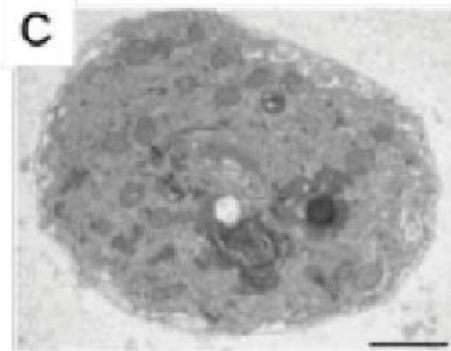
Granular amoebocytes (30-70 μm)

- Tt cathepsin L immunoreactivity
- Migrate to the infection site
- Phagocyte Gram + and - bacteria



Small coelomocytes (7-12 μm)

- peptide B production



Антимикробные пептиды пиявки

Theromacin, **cationic**, anti Gram +



Theromyzin, **anionic**, anti Gram +



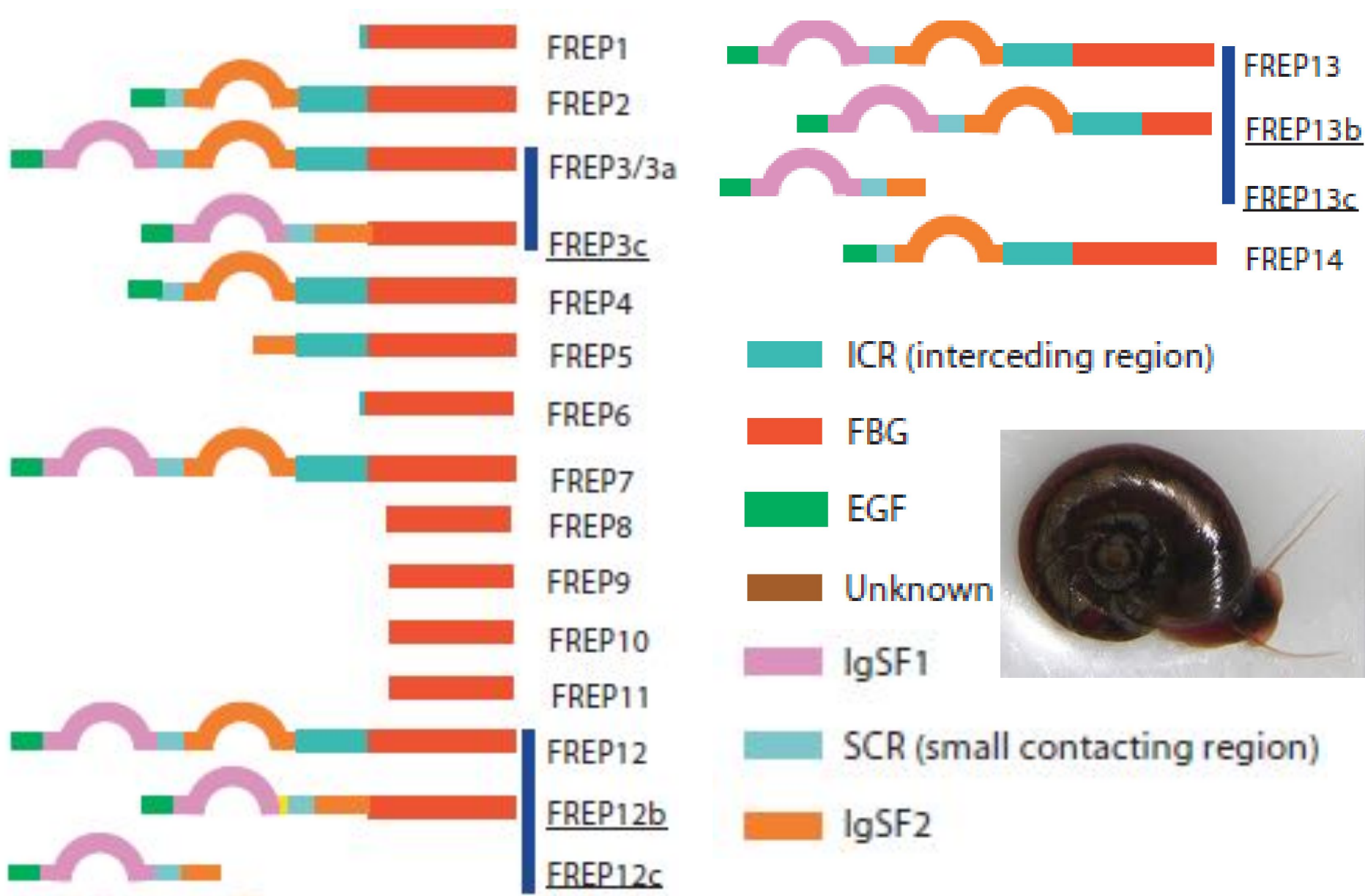
Lumbricin like, **cationic**, anti Gram + and Gram -



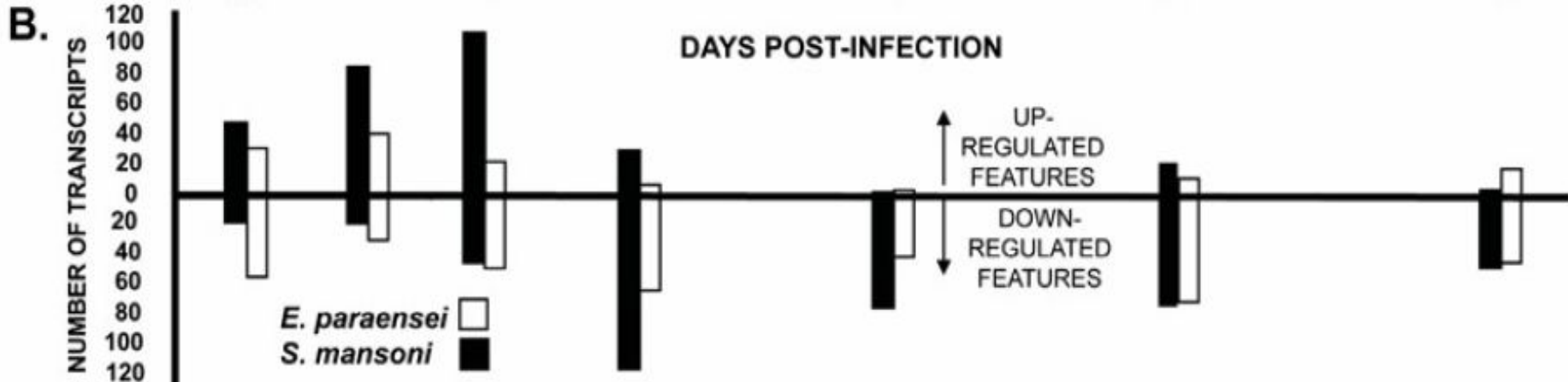
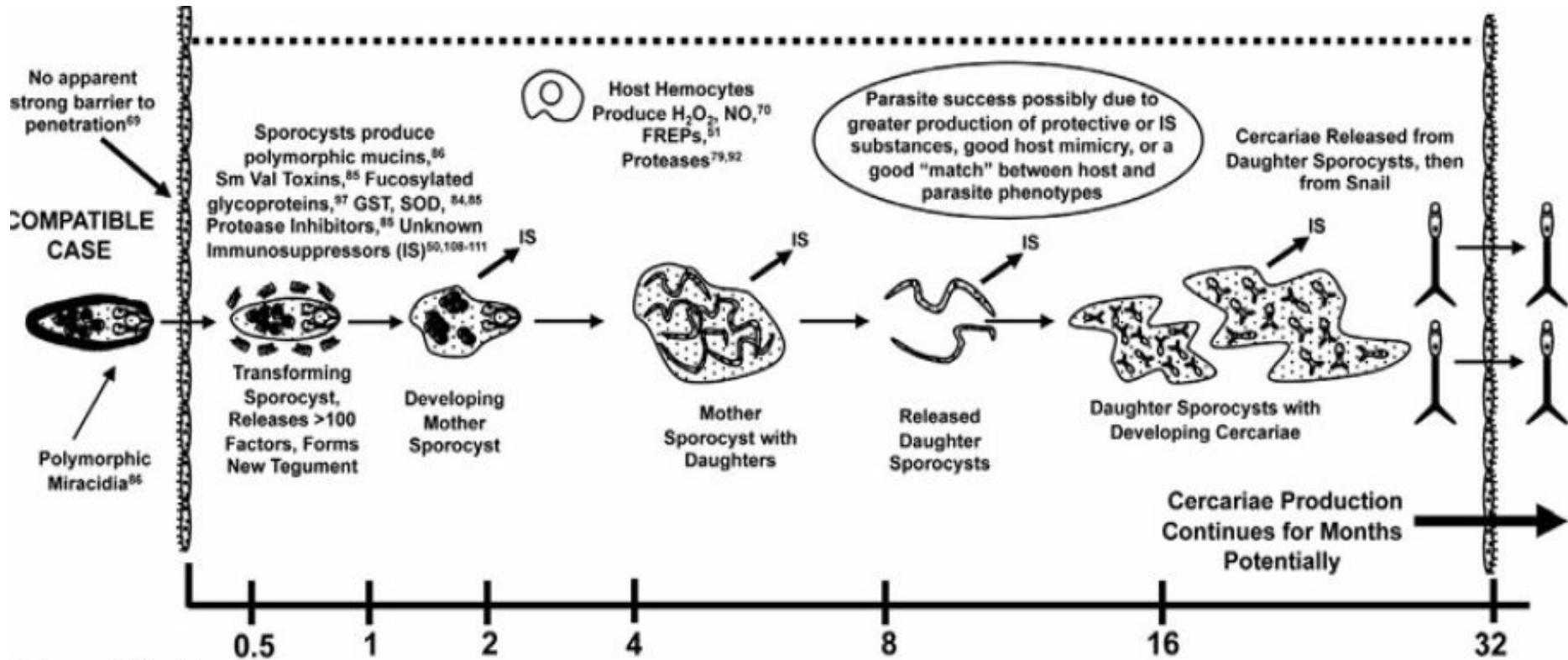
Peptide B, **anionic**, anti Gram +



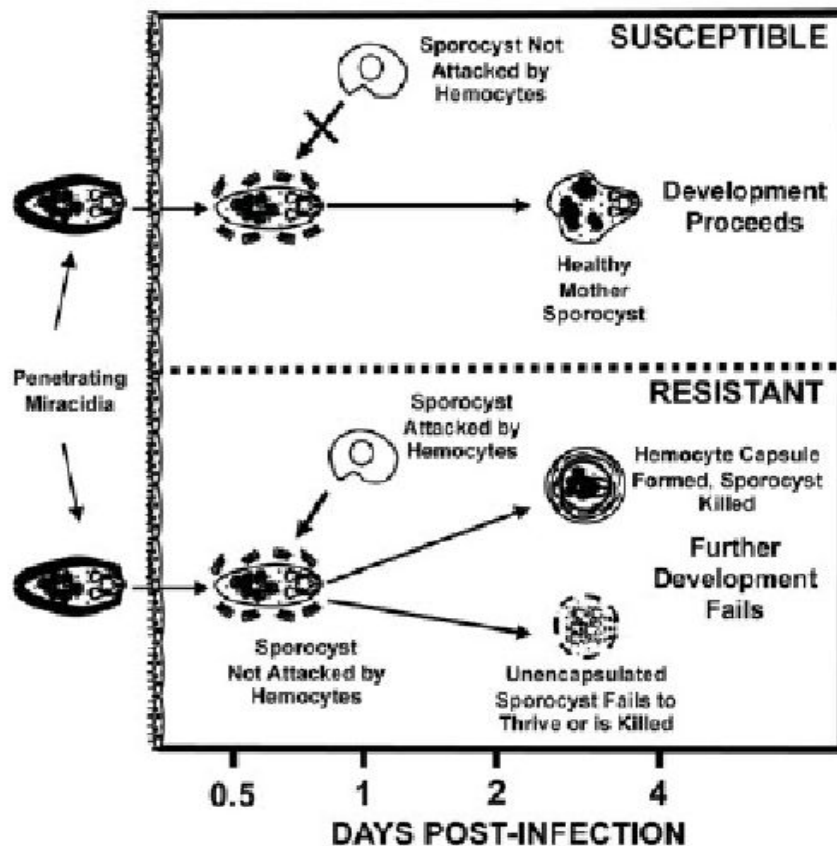
Строение FREP белков улитки *Biomphalaria glabrata*



Улитки против трематод



Различия между чувствительными и устойчивыми улитками



CONSTITUTIVE DIFFERENCES BETWEEN SUSCEPTIBLE AND RESISTANT SNAILS

Resistant Snails have more hemocytes than susceptible snails

Bg-Sm: 179

Resistant hemocytes have different behavior or properties

Bg-Sm: 177

Bt-Sm: 178

Resistant Snails produce more parasite-toxic reactive oxygen species (ROS)

Bg-Sm: 70,101,179-182

Resistant Snails have novel recognition/killing capacity in their plasma

Bt-Sm: 183,184

Bg-Sm: 44

Innate differences in the levels of potentially immune relevant factors

Bg-Sm: 185

Bg-Ec: 73,79,84,186,187

Bt-Sm: 188

Resistant snails have greater ability to resist parasite offensive strategies, including signaling pathway targets

Bg-Sm: 43,110

Bg-Ec: 119

Resistant and susceptible snails may differ in the ease with which they are mimicked by parasites

Bg-Sm: 97

RESPONSE CAPACITIES FOLLOWING EXPOSURE TO INFECTION

Resistant Snails are more stimulated to make hemocytes following exposure

Bg-Sm: 189

Resistant snails respond more prominently or differently to infection than susceptible snails

Bg-Sm: 92,100,102,103,105,100-101

Bg-Ec: 73,74,77,84,187

Bt-Sm: 188

Гипотеза черной королевы

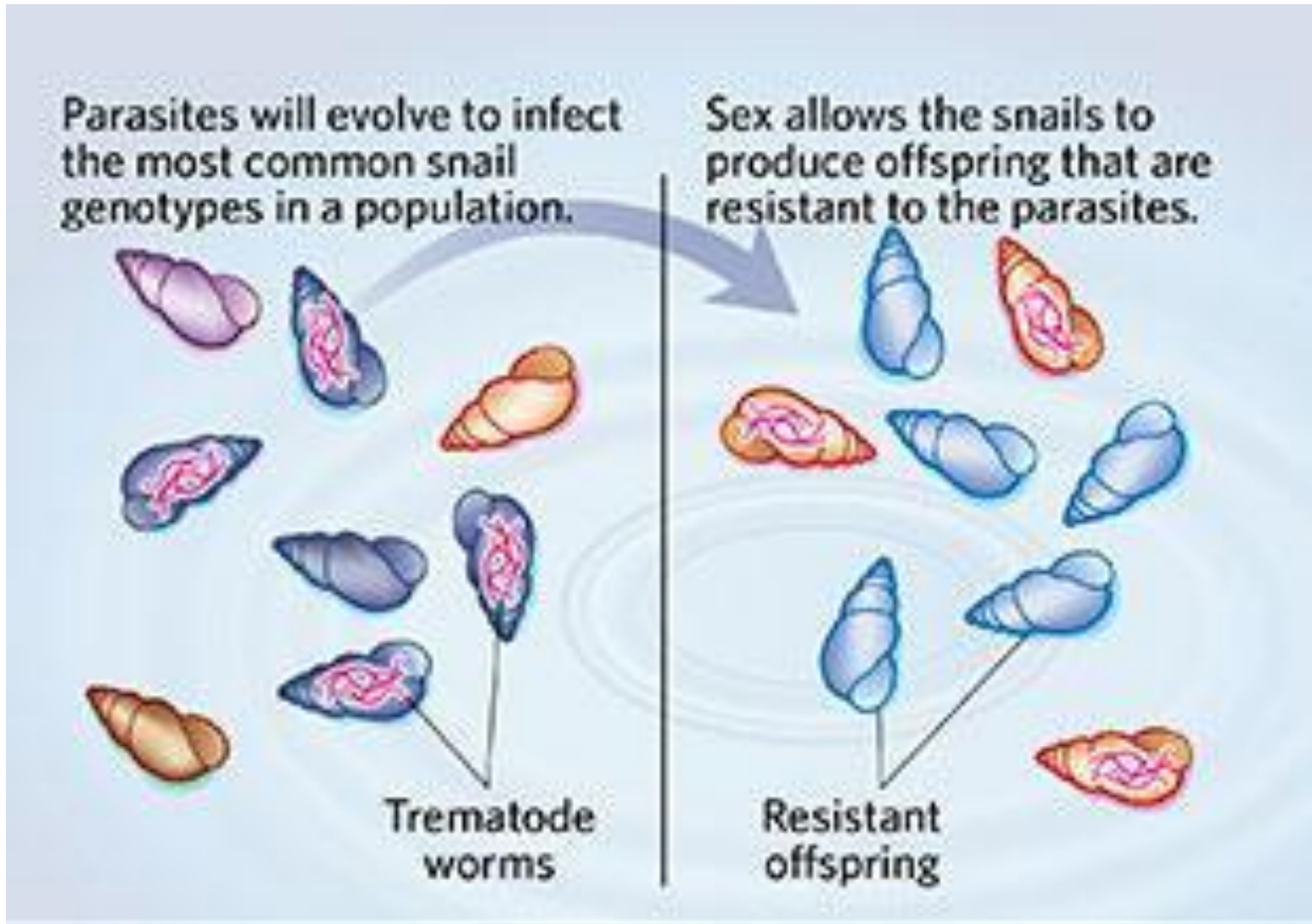
RED QUEEN HYPOTHESIS

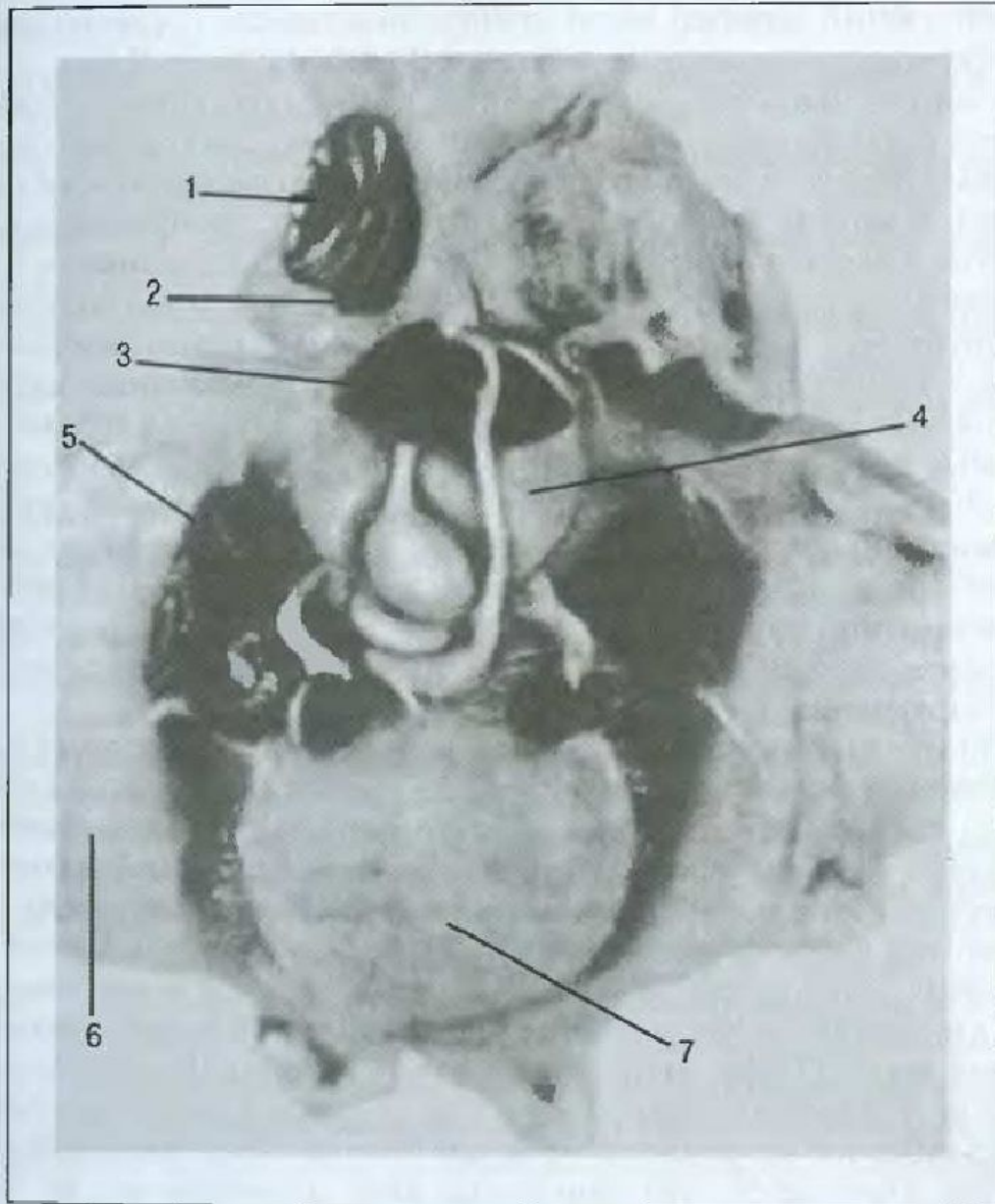


IN REFERENCE TO AN EVOLUTIONARY SYSTEM,
CONTINUING ADAPTATION IS NEEDED IN ORDER
FOR A SPECIES TO MAINTAIN ITS RELATIVE FITNESS
AMONGST THE SYSTEMS IT IS CO-EVOLVING WITH

© WORDS & UNIVERSALS

Половое размножение помогает устойчивости к паразитам на популяционном уровне





Euprymna scolopes

Рис. 7.7. Диссекция осьминога *Eledone ceratosa* через 2 дня после внутривенной инъекции большой дозы туши

Лимфоидный орган — белое тело (2) — расположен непосредственно за глазом (1);
 3 — задняя слюнная железа; 4 — печень; 5 — жабры; 6 — мантия; 7 — гонады

Строение светового органа эупримны

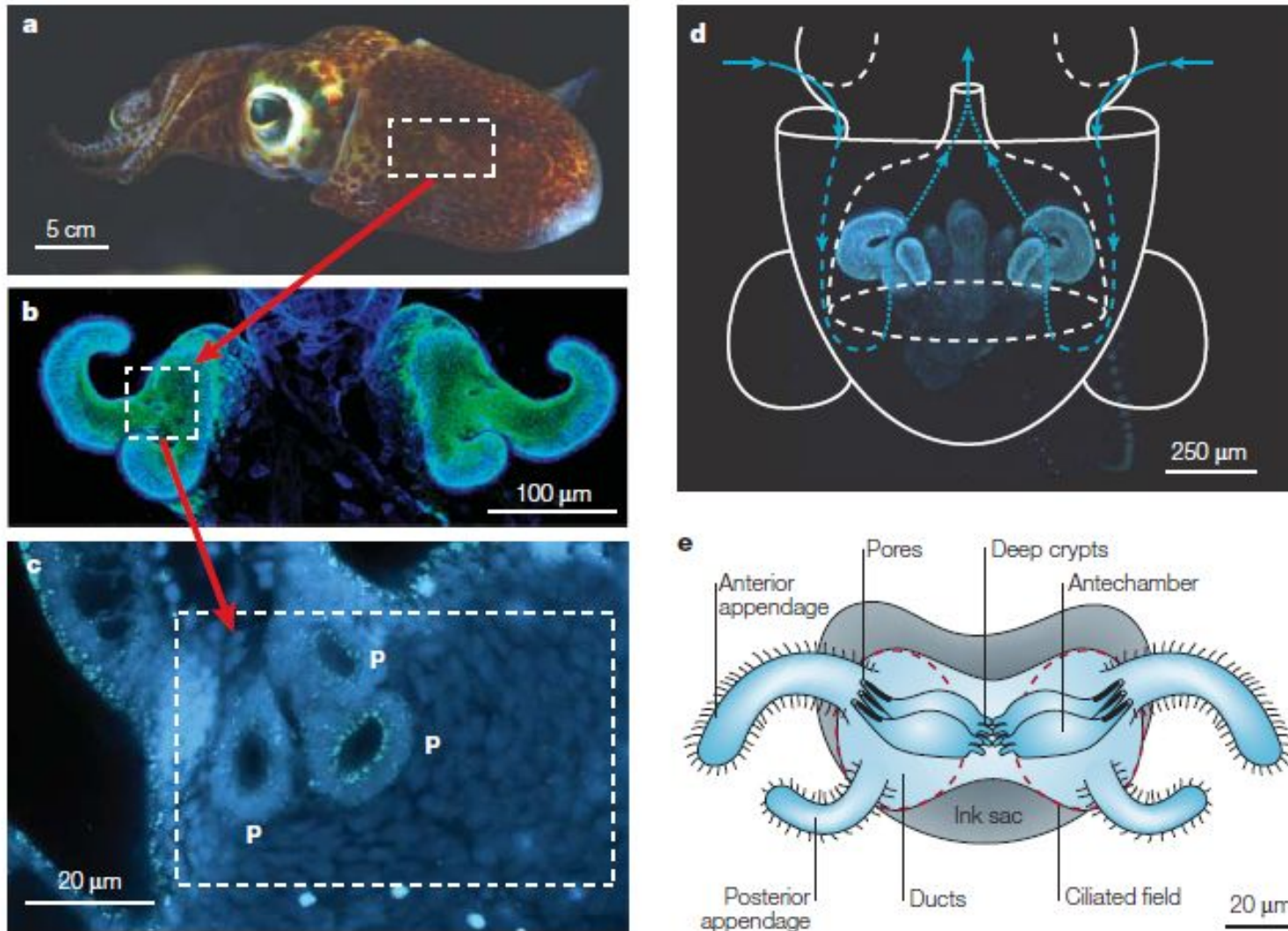
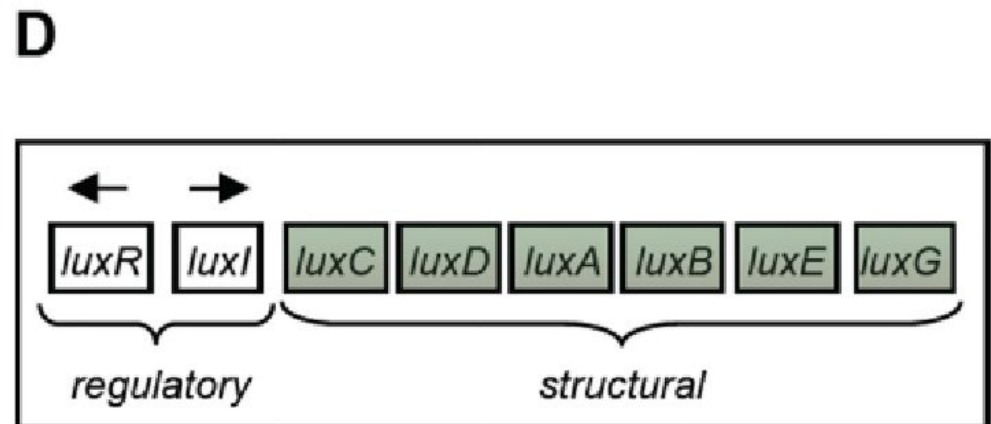
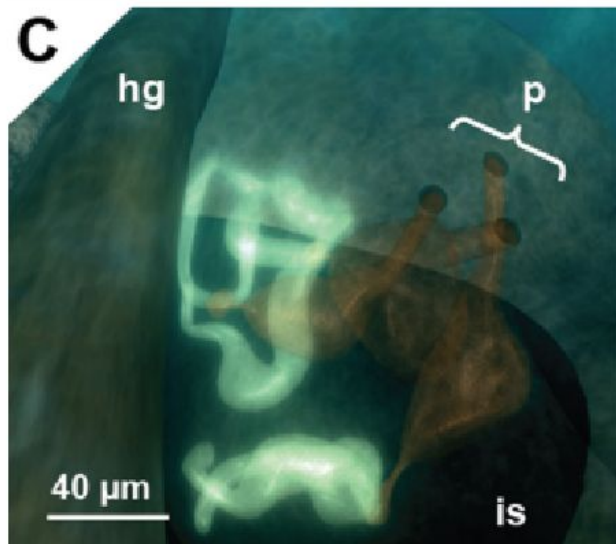
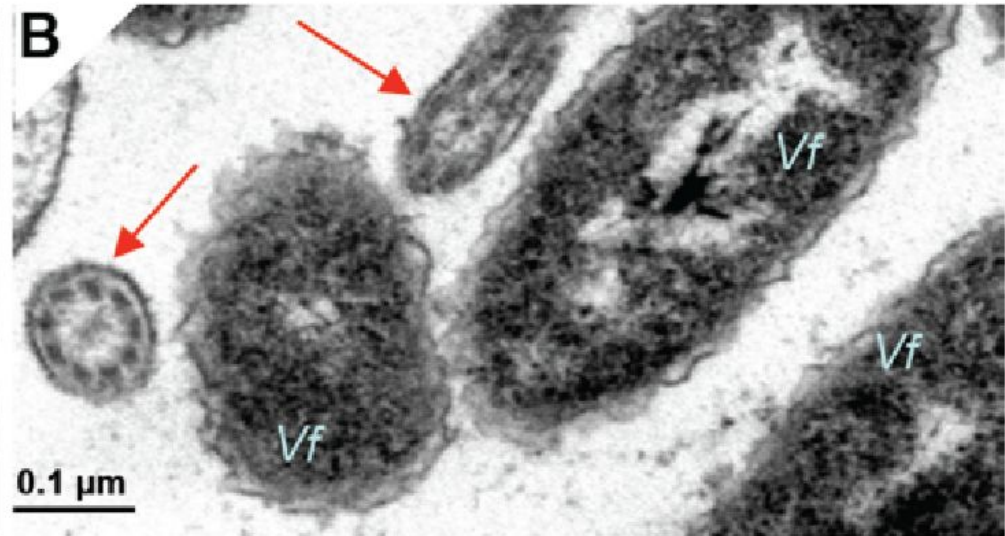
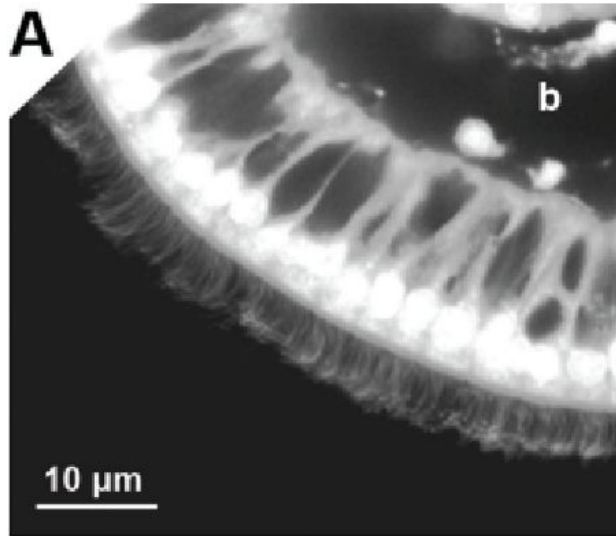


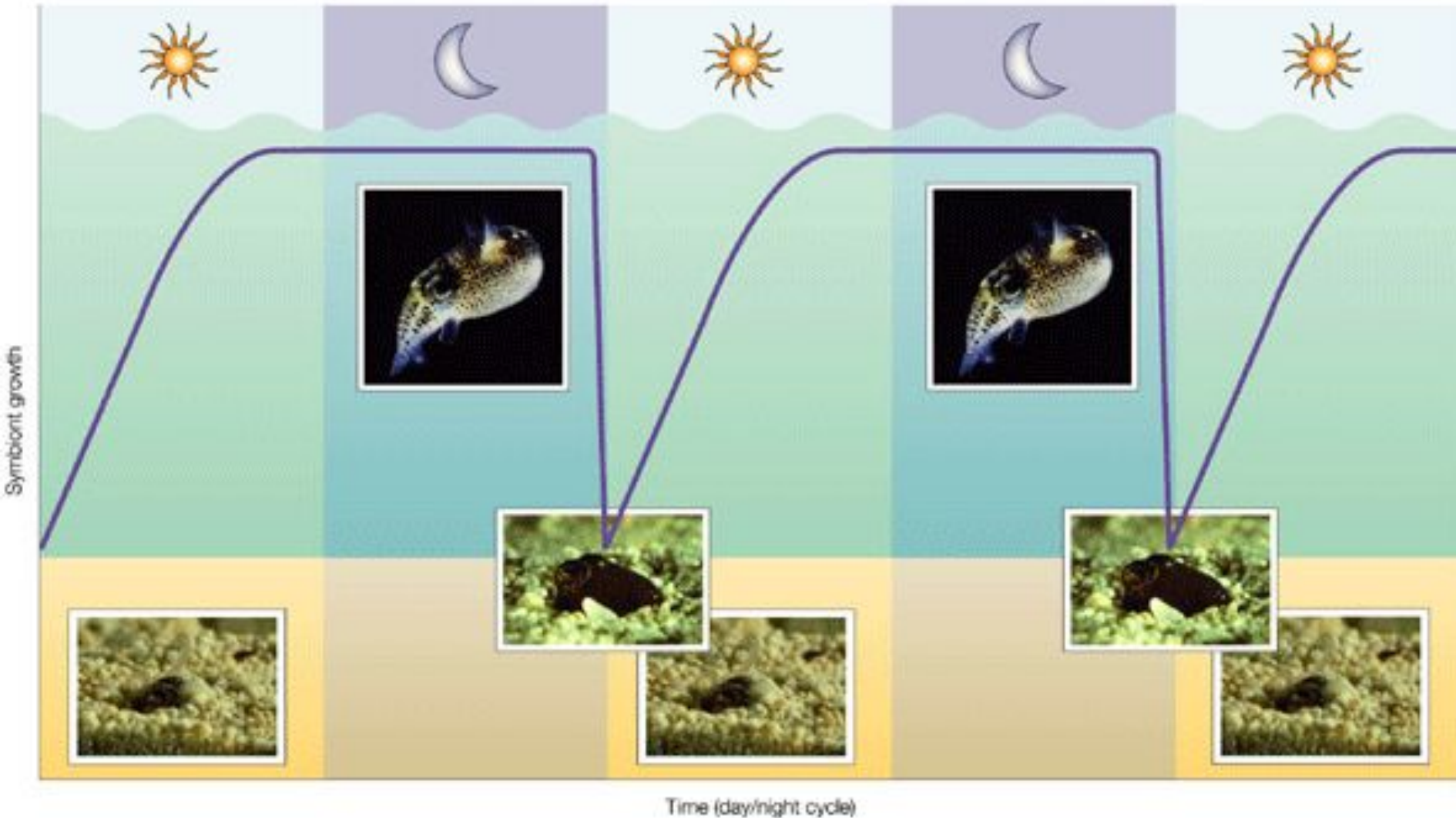
Figure 2 | **The juvenile light-organ system.** **a** | A host squid swimming in the water column. **b** | A confocal micrograph showing the complex ciliated epithelium on the surface of the juvenile light organ. **c** | A confocal micrograph showing the pores (P) on the surface of the organ through which the symbionts enter host tissues. **d** | The pattern of water flow through the mantle cavity. **e** | The internal components of the squid light organ at hatching. Part **d** is reproduced with permission from REE 18 © (2000) National Academy of Sciences.

Vibrio fischeri прикрепляются к ресничному эпителию светового органа каракатицы

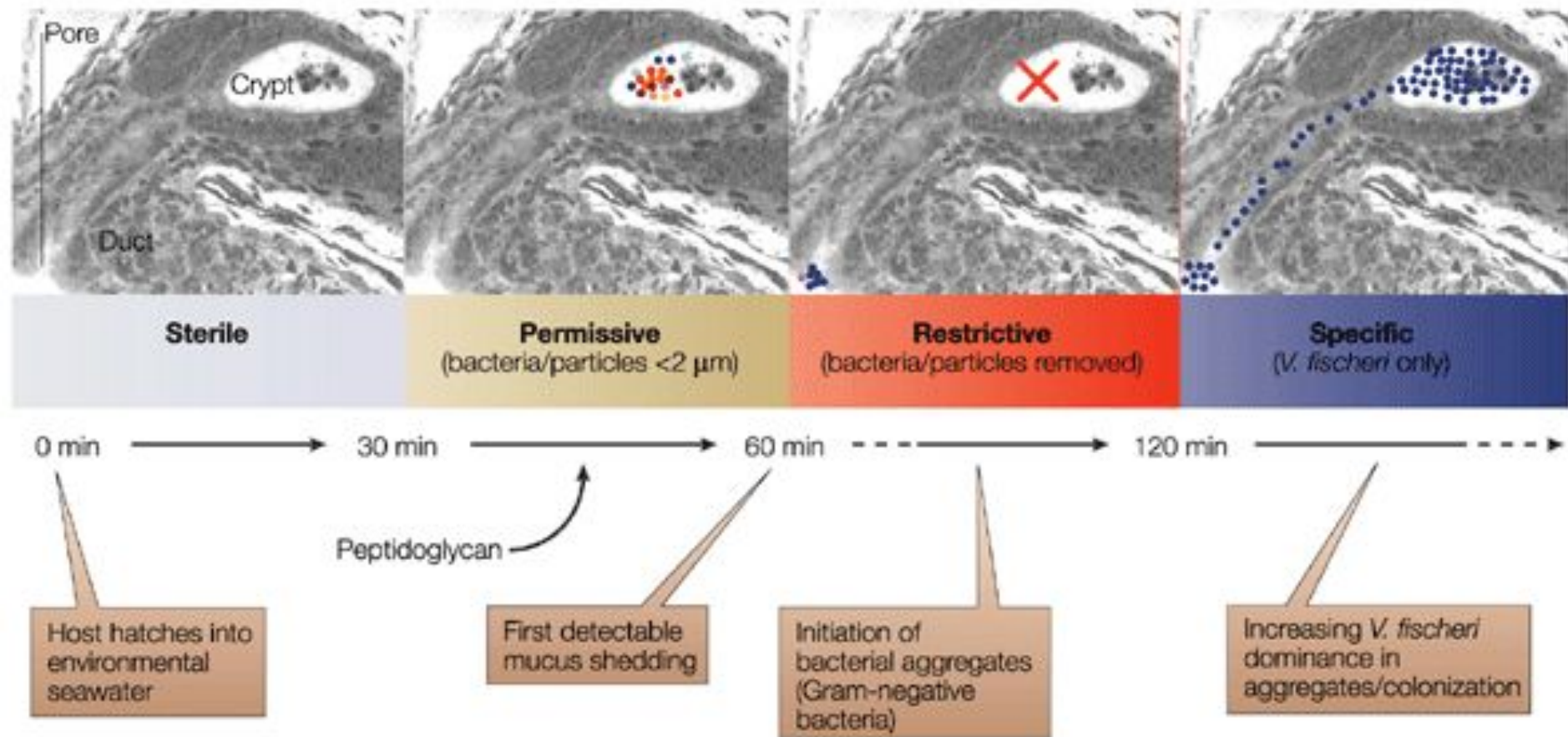


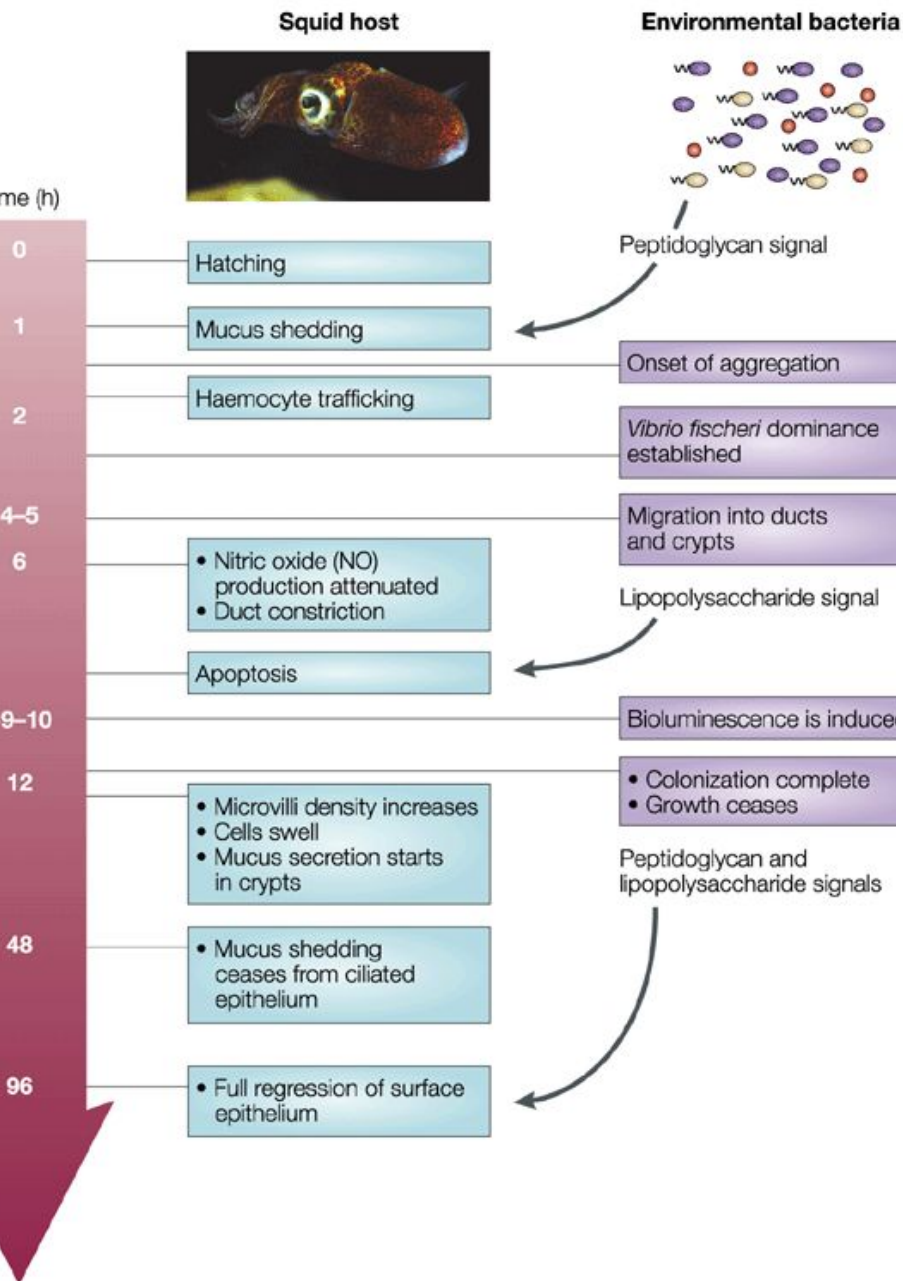
Интенсивность свечения
зависит от чувства кворума

Каракатица регулирует количество симбионтов в световом органе



Заселение светового органа каракатицы после рождения





Модель колонизации

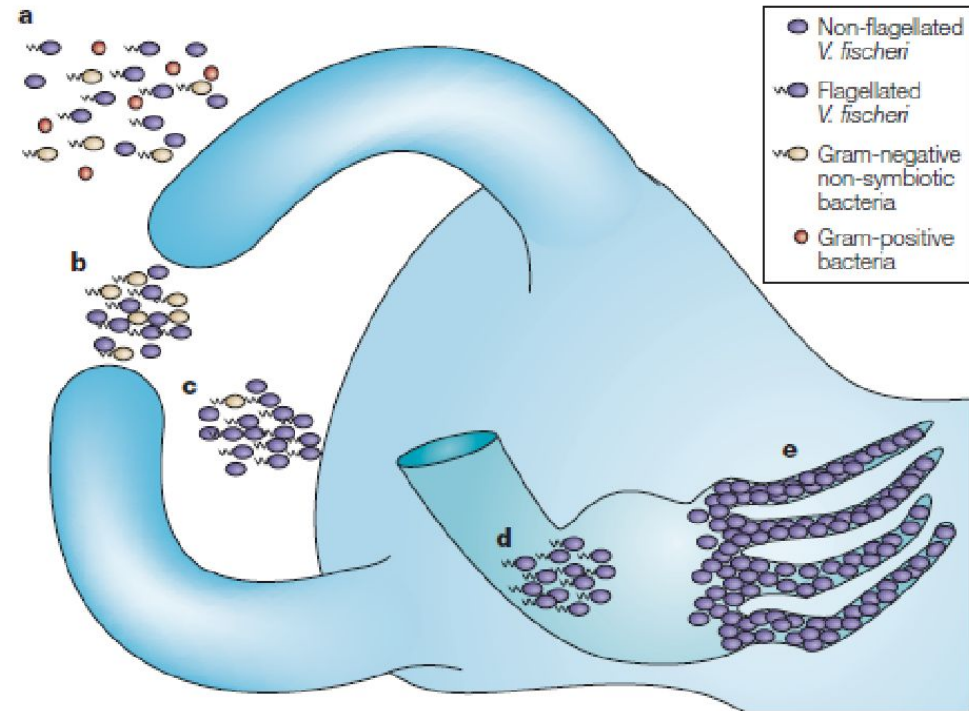


Figure 8 | **The winnowing.** This model depicts the progression of light-organ colonization as a series of steps, each more specific for symbiosis-competent *Vibrio fischeri*. **a** | In response to Gram-positive and Gram-negative bacteria (alive or dead) the bacterial peptidoglycan signal causes the cells of the ciliated surface epithelium to secrete mucus. **b** | Only viable Gram-negative bacteria form dense aggregations. **c** | Motile or non-motile *V. fischeri* out-compete other Gram-negative bacteria for space and become dominant in the aggregations. **d** | Viable and motile *V. fischeri* are the only bacteria that are able to migrate through the pores and into the ducts to colonize host tissue. **e** | Following successful colonization, symbiotic bacterial cells become non-motile and induce host-epithelial cell swelling. Only bioluminescent *V. fischeri* will sustain long-term colonization of the crypt epithelium.

Деградация ресничного эпителия светового органа идет в ответ на МАРП *Vibrio fischeri*

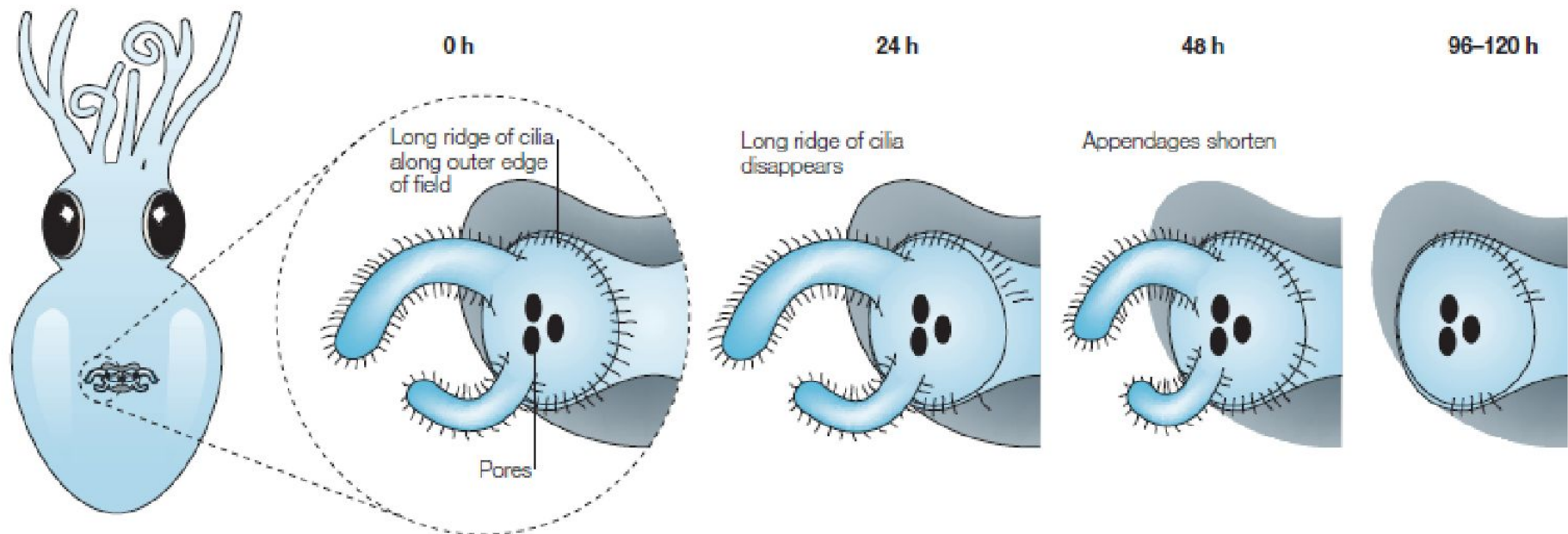
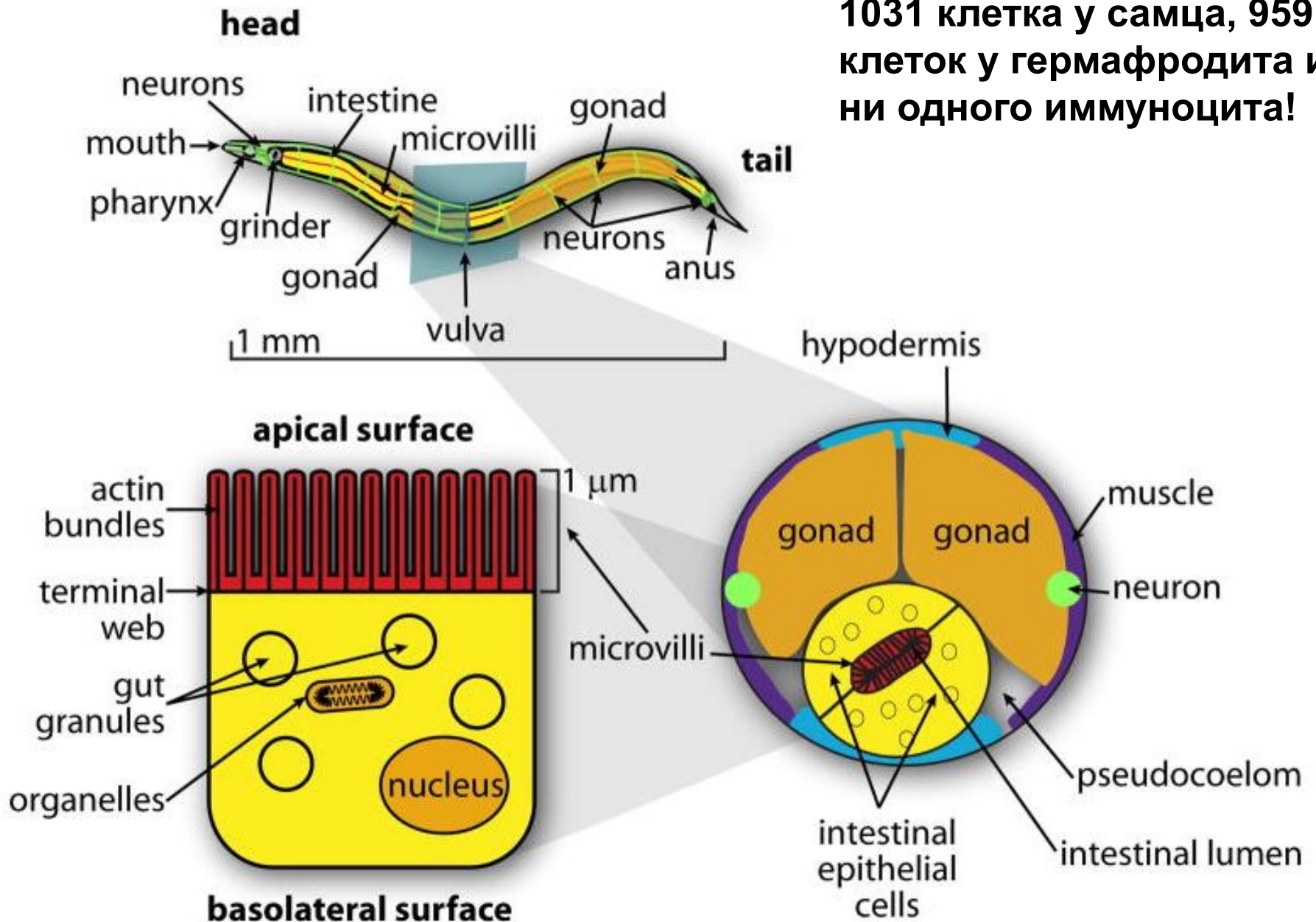


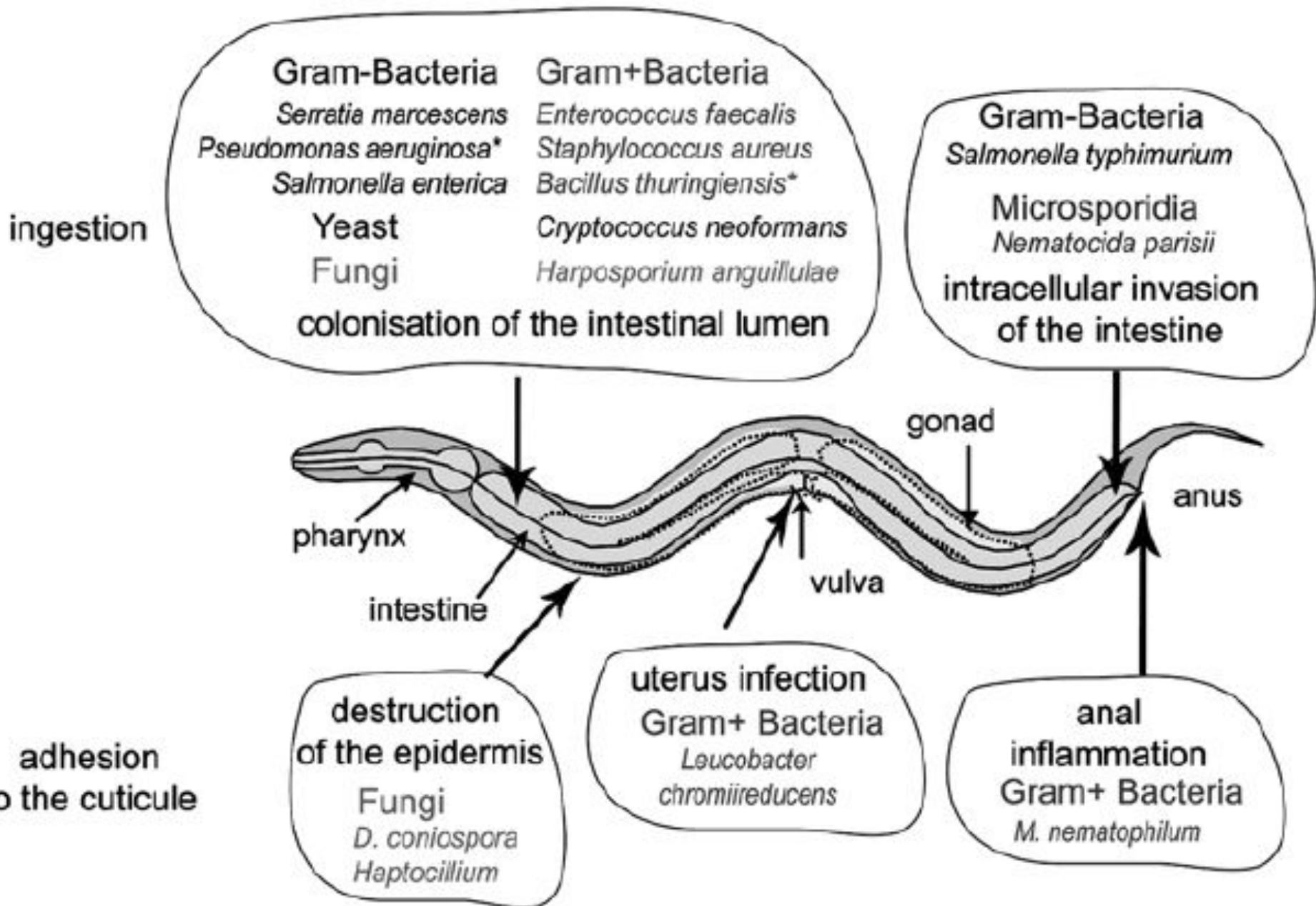
Figure 5 | The gradual, symbiont-induced regression of the ciliated epithelium of the juvenile light organ. Schematic depicting the loss of host ciliated epithelial fields after successful colonization by *Vibrio fischeri*.

Общее строение нематоды

1031 клетка у самца, 959 клеток у гермафродита и ни одного иммунocyта!



Патогены нематод и пути их проникновения



Грибковые инфекции нематод

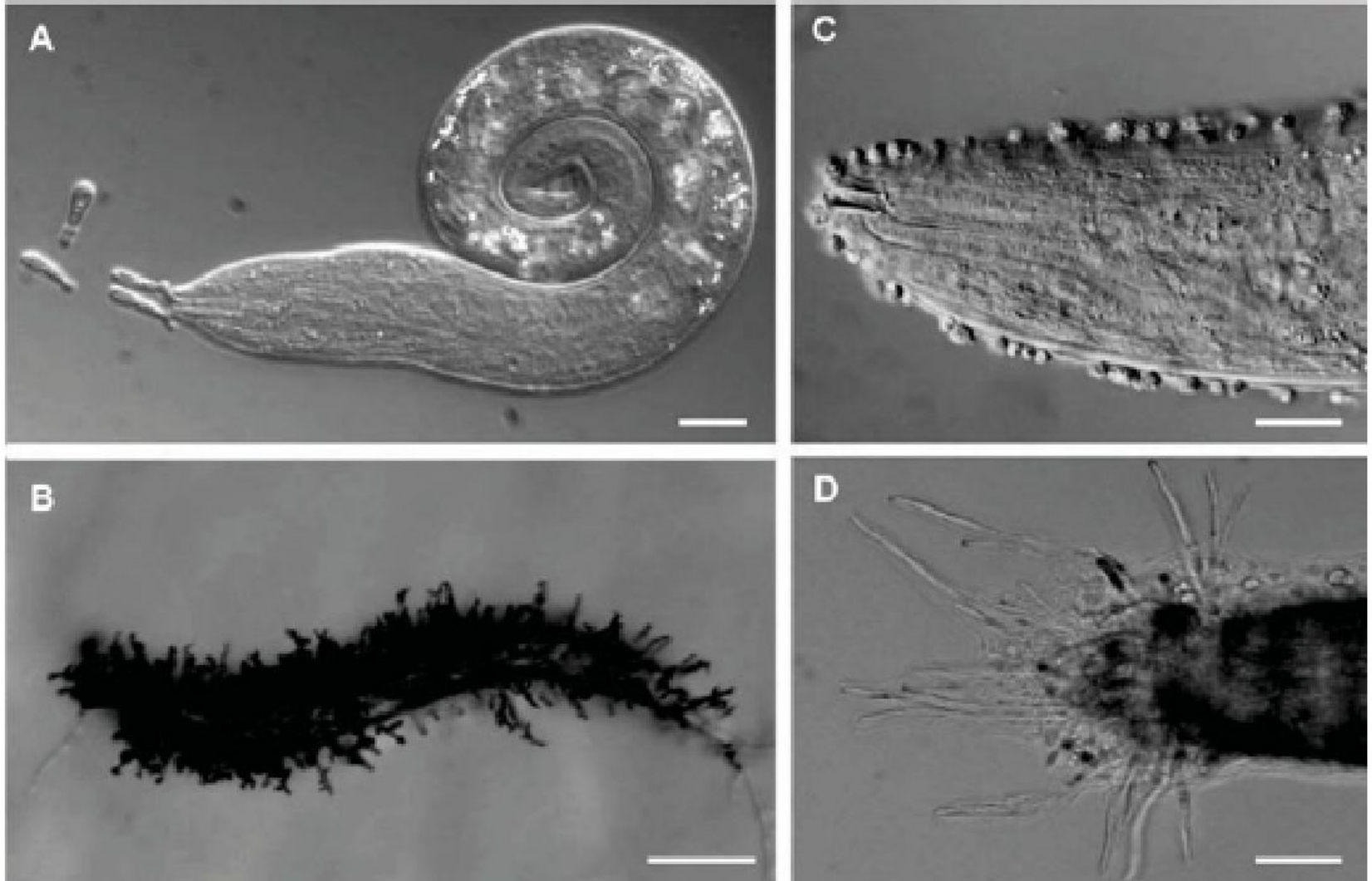
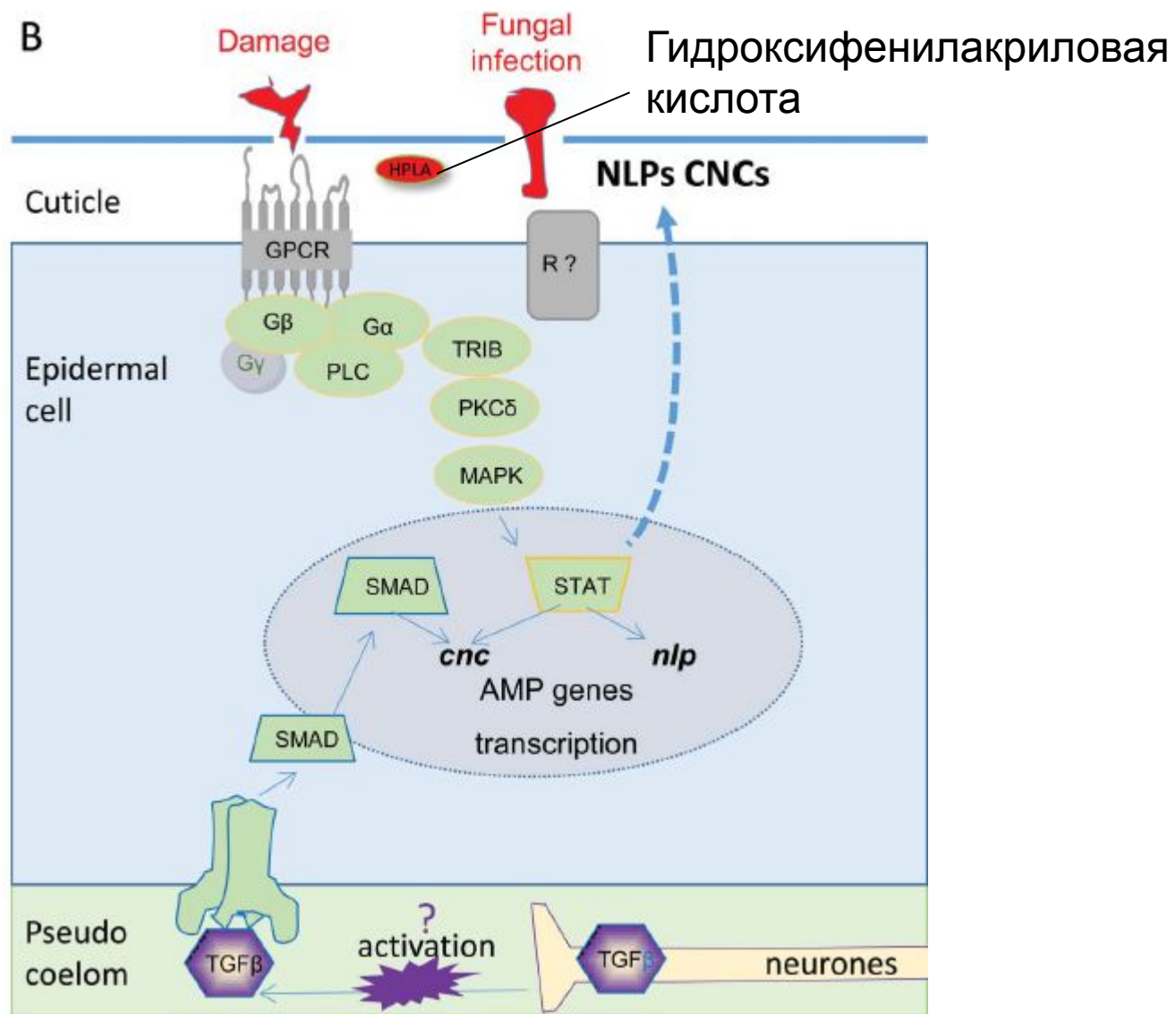
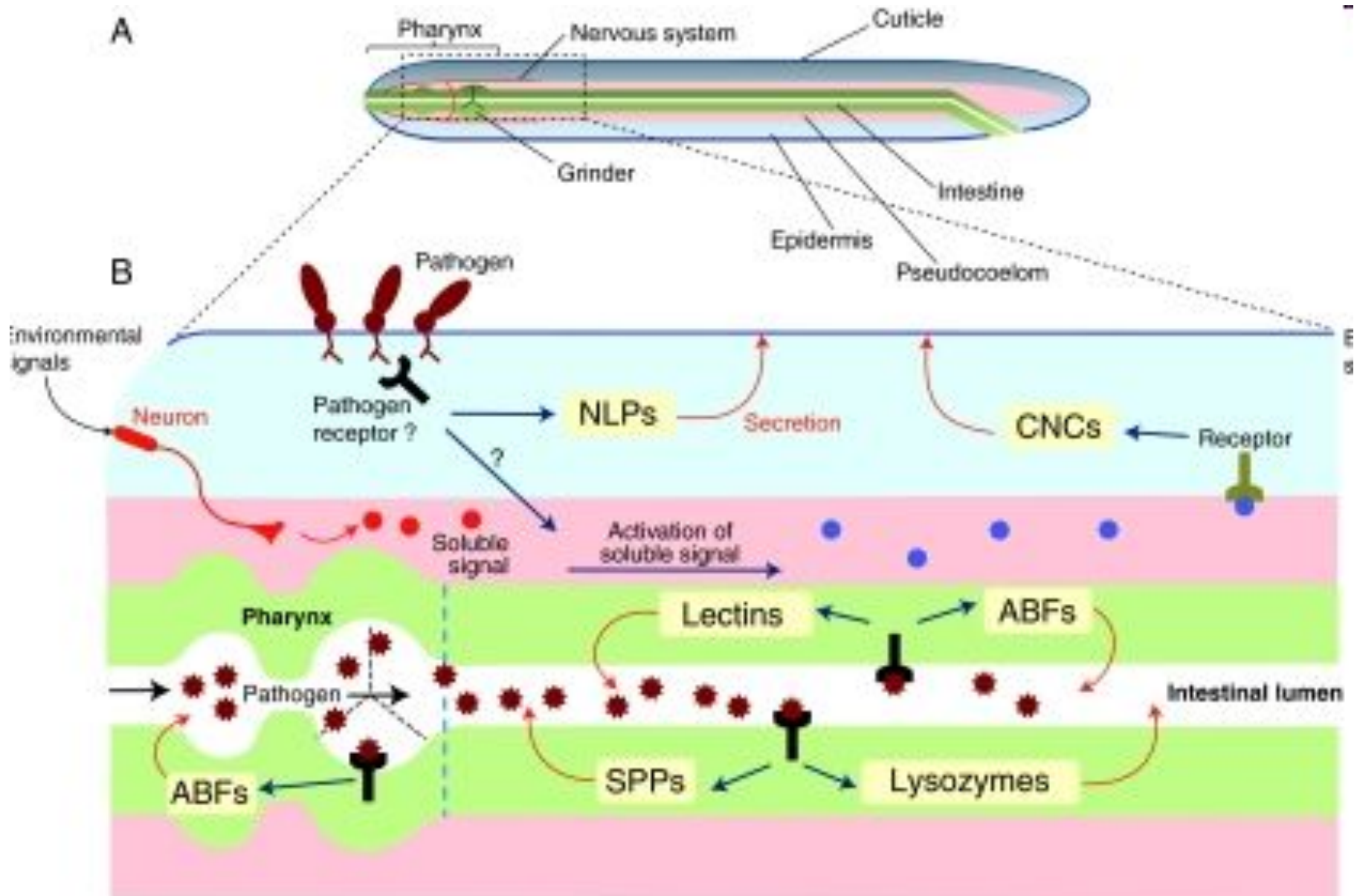


Figure 2. Fungal infection of *C. elegans*. (A and B) *D. coniospora*, (C and D) *Haptocillium*. (A and C) adhesion of the spores to the cuticle after few hours, (B and D) after 2 days fungal hyphae grow out of the worm. Scale bars are 10 μm (A), 100 μm (B) and 50 μm (C and D).

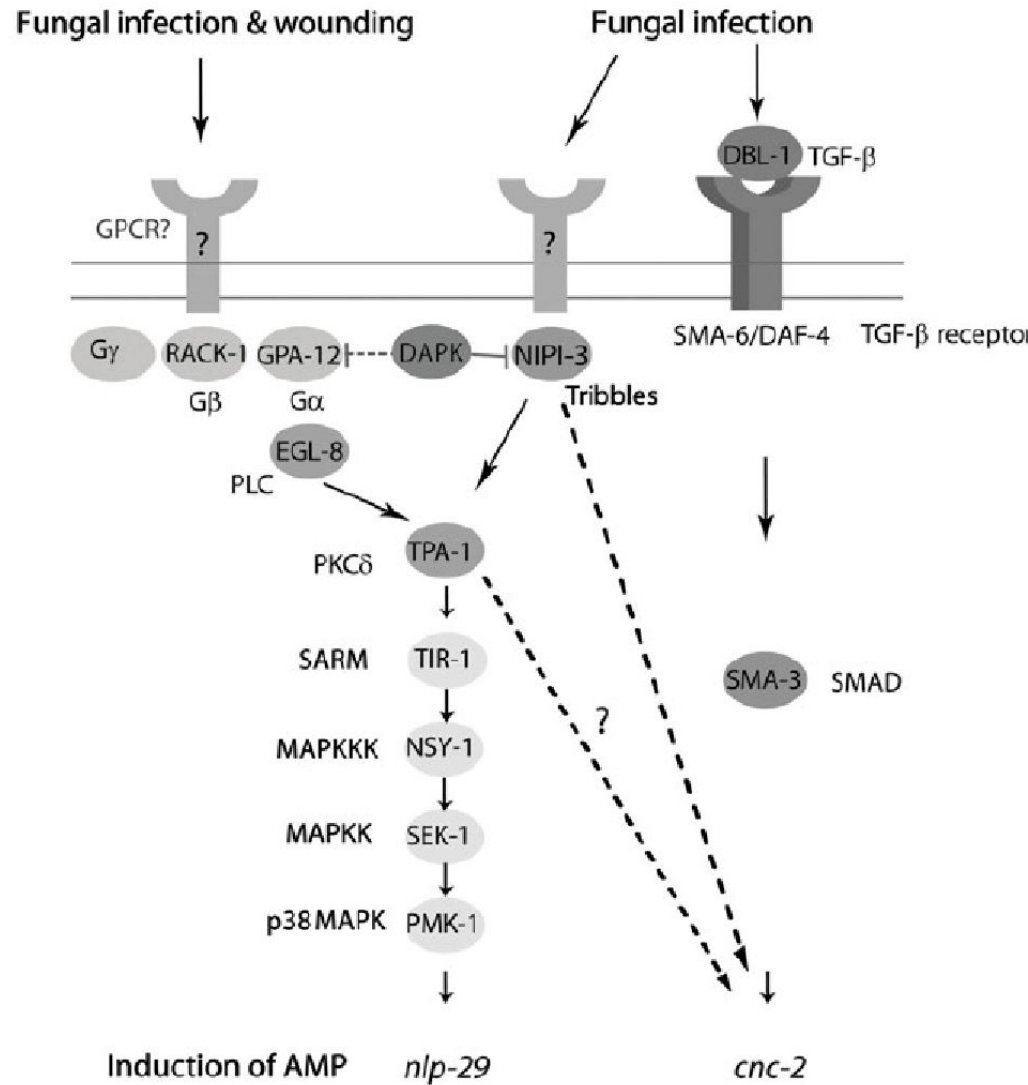
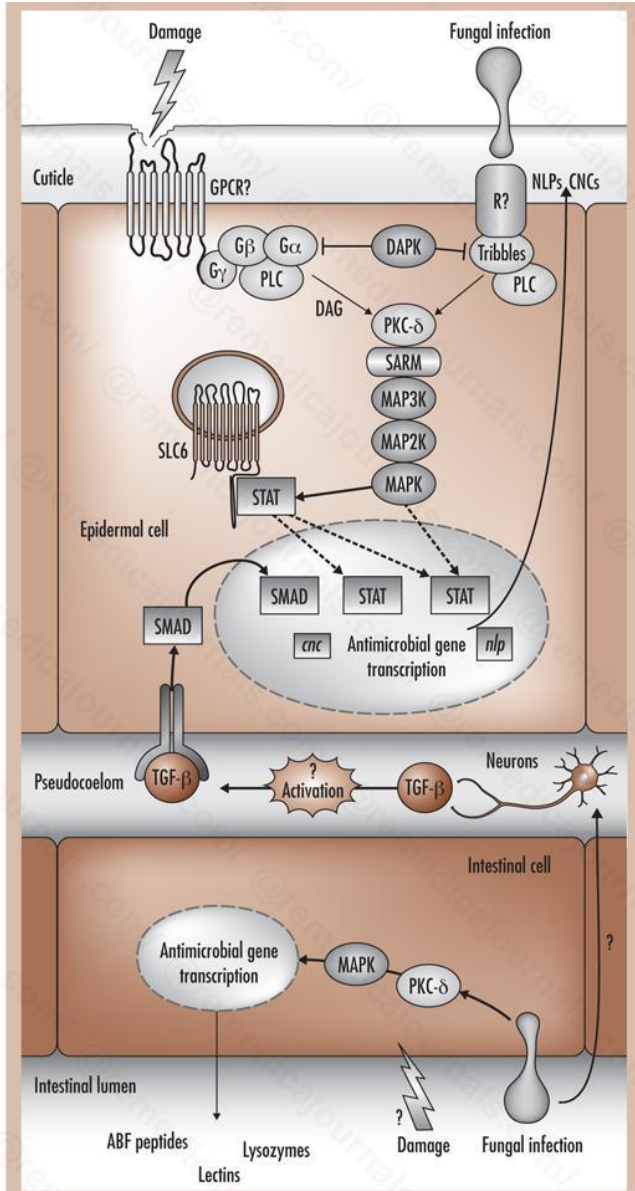
MAP-киназный каскад как сигнал о повреждении покровов



Иммунная система нематод



Сигнальные пути, вовлеченные в иммунный ответ нематоды, еще не известны полностью



Различие сигнальных путей

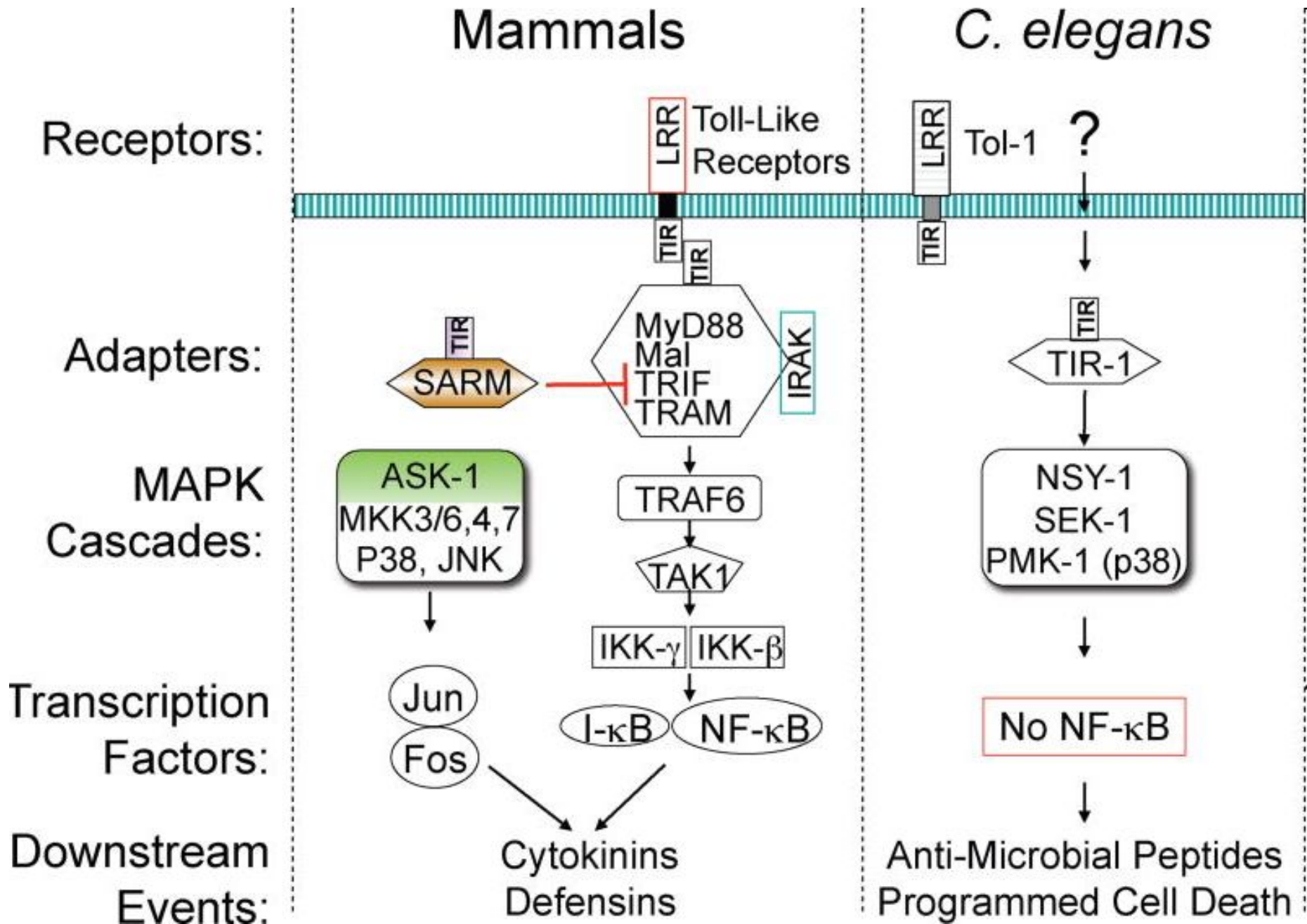
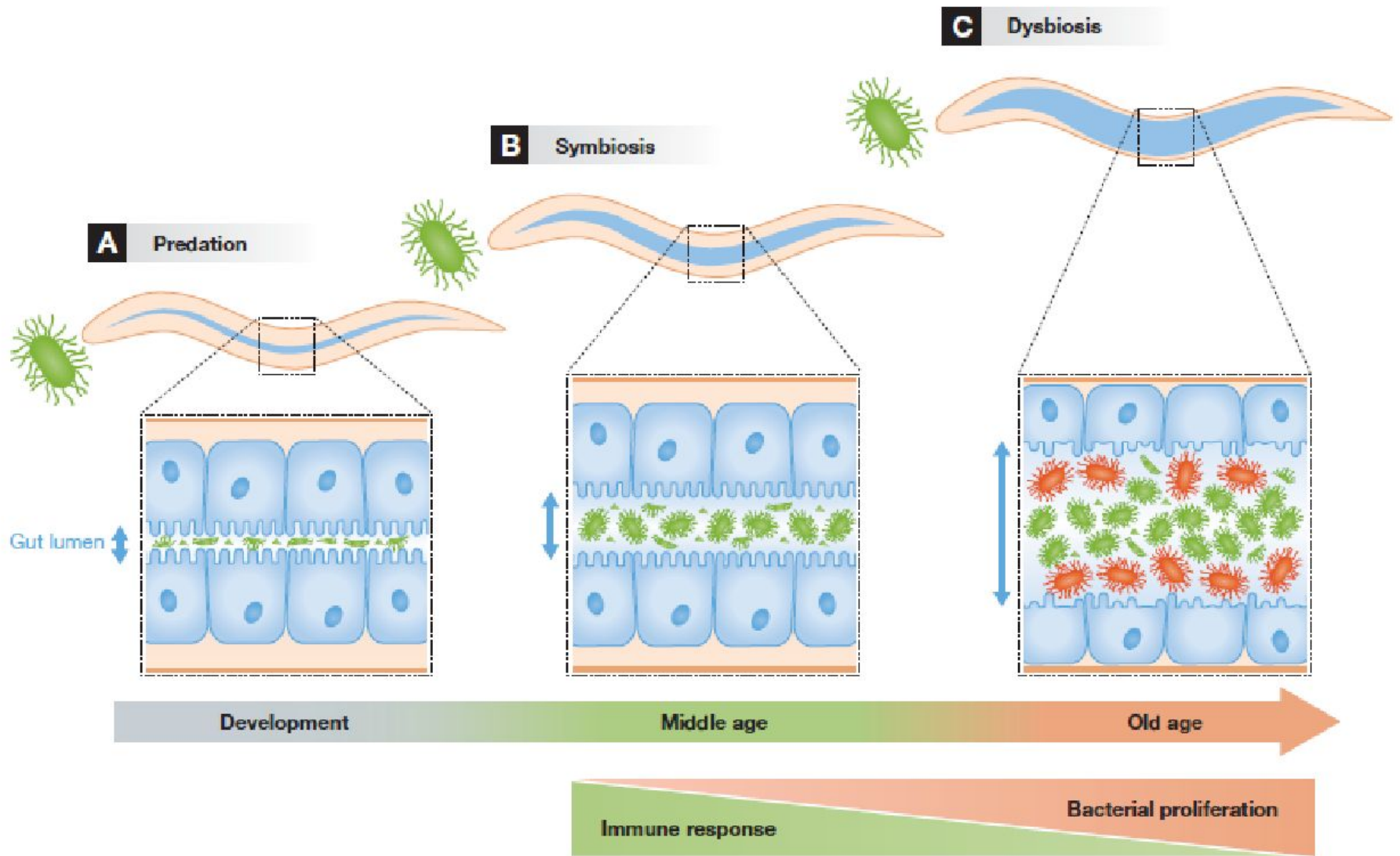


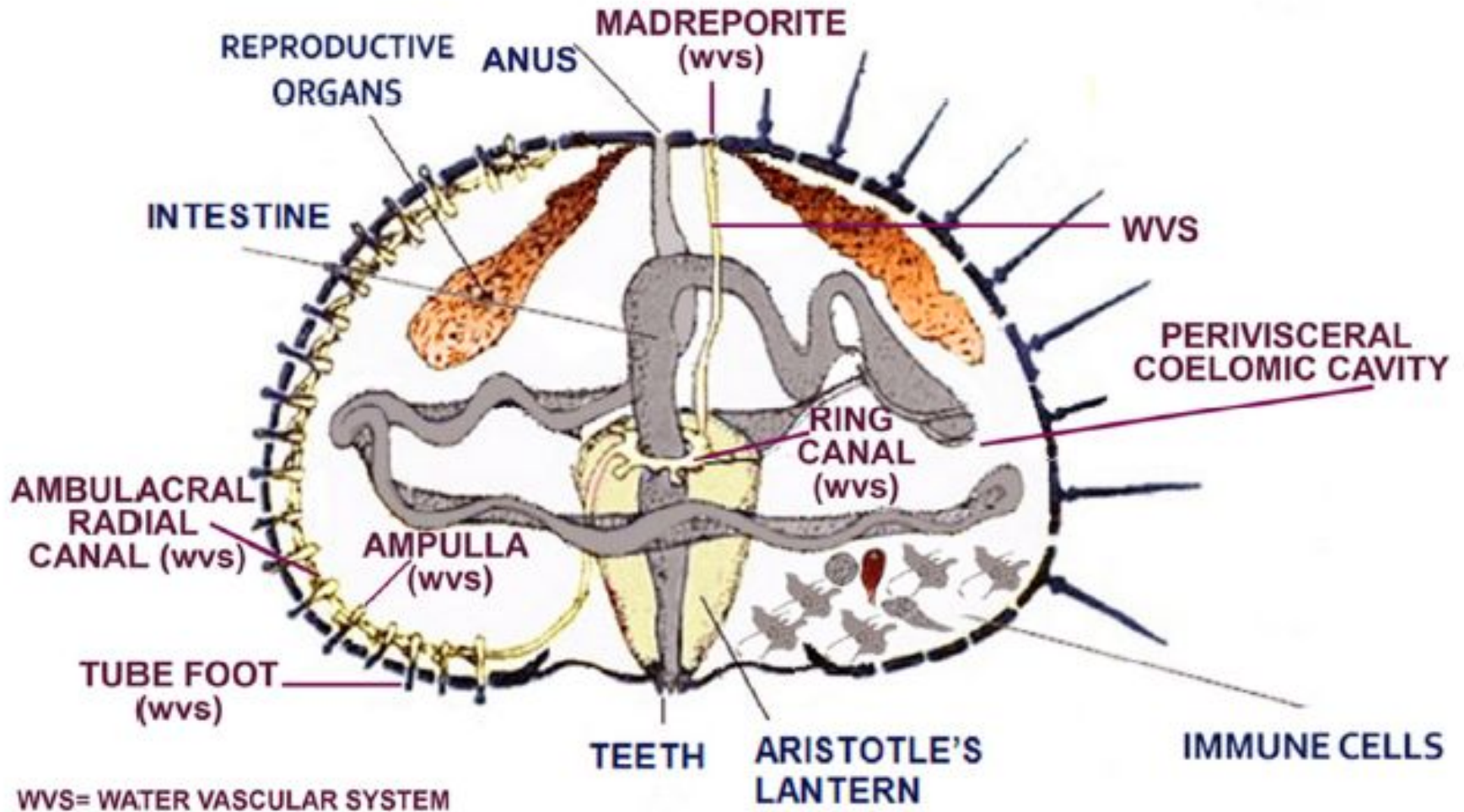
Table 1. Summary of the major signalling pathways in the *C. elegans* Immune System (updated from ref. 86)

| Pathway | Tissue | Components | Homologues | References |
|--------------------|--------------------------|----------------------|----------------------------|------------|
| p38 MAPK | Epidermis | GPA-12, RACK-1 | G protein subunits | 82 |
| | | EGL-8, PLC-3 | Phospholipase C | 82 |
| | | NIPI-3 | Tribbles kinase | 35 |
| | Epidermis and intestine | TPA-1 | Protein kinase C | 82,87 |
| | | TIR-1 | SARM | 24,34,88 |
| | | NSY-1, SEK-1, PMK-1 | MAP kinases | 12,35 |
| FSHR-1 | Intestine | FSHR-1 | G protein coupled receptor | 26 |
| ZIP-2 | Intestine | ZIP-2 | b-zip transcription factor | 65 |
| Insulin signalling | Nervous system | INS-7 | Insulin-like peptide | 76 |
| | Intestine | DAF-2 | Insulin receptor | 42 |
| | | AGE-1 | PI3 kinase | 42 |
| | | AKT-1, AKT-2 | Akt kinase | 43 |
| | | DAF-16 | FOXO transcription factor | 42 |
| TGF- β | Nervous system epidermis | DBL-1 | TGF- β | 54,55 |
| | | SMA-6 | TGF- β receptor | 55 |
| | | SMA-3 | SMAD protein | 55 |
| Wnt/Hox | Intestine/ | BAR-1 | β -catenin | 61 |
| | Hindgut | EGL-5 | Hox transcription factor | 61,64 |
| ERK MAPK | Hindgut | LIN-45, MEK-2, MPK-1 | ERK MAP kinase | 39 |
| | | EGL-8 | Phospholipase C | 89 |
| | | SUR-2 | Mediator component | 39 |
| UPR ¹ | Intestine | XBP-1 | X box protein | 50,52 |
| | | HSP-4 | Heat shock protein | |
| Autophagy | Pharynx | CED-1, C03F11.3 | Scavenger receptor | 51 |
| | Intestine | BEC-1, LGG-1 | ATG proteins | 16 |

Микробиота нематоды и старение



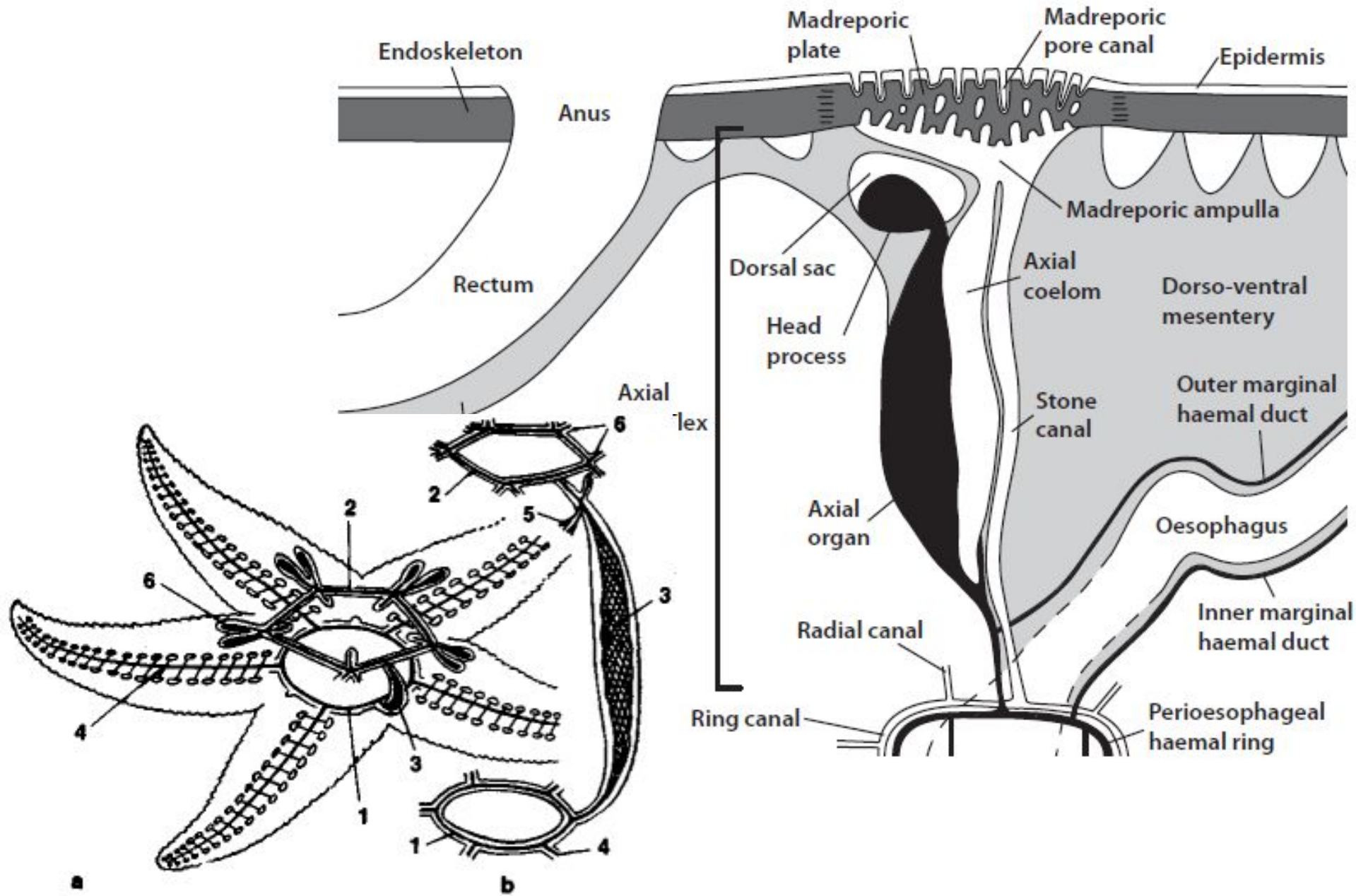
Общая схема строения морского ежа



Характеристика генов иммунной системы иглокожих и хордовых

| | Amphioxus ^a | Sea squirt ^b | Sea urchin ^c | Human ^d |
|---------------------------------------|------------------------|----------------------------|----------------------------|--------------------|
| Complement | | | | |
| C3/C4/C5 ^e | 3 | 2 | 4 | 4 |
| Bf/C2 ^f | 2 | 3 | 3 | 2 |
| MASP ^g /Clr,s ^h | 5/44 ⁱ | 4 | 0/2 ^l | 4 |
| TCC ^l | 9 | 11 | 0 | 6 |
| Clq ^k -like | 39 | 2 | 4 | 23 |
| LRR-containing | | | | |
| TLR ^l | 72 | 2 | 222 | 10 |
| NLR ^m | 118 | 0/28 ⁿ | 203 | 25 |
| LRR-Ig ^o | 125 | ND ^p | 22 | 30 |
| Other mediators | | | | |
| SRCR ^q | 270 | 5 | 218 | 16 |
| PGRP ^r | 18 | 0 | 5 | 6 |
| GNBP ^s | 5 | 3 | 3 | 0 |
| CTL ^t | 1200/717 ^u | ND ^p | 104 | 81 |
| VCBP ^v | 5/10 ^w | 4 | 0 | 0 |
| Cytokines | | | | |
| TNF ^x | 21 | 4 | 4 | 20 |
| TNFR ^y | 31 | 3 | 9 | 26 |
| IL-17 ^z | 9 | 2 | 30 | 9 |

Аксиальный орган иглокожих

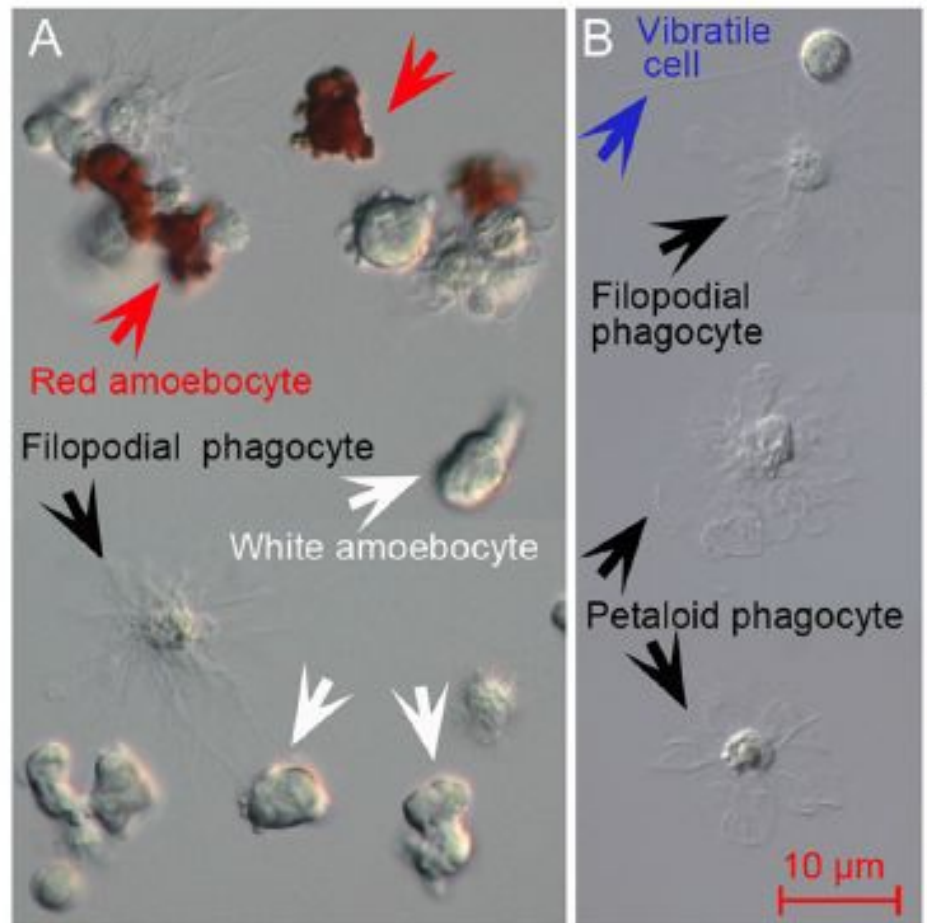


«Формула» целомоцитов морского ежа

Table 1. Coelomocytes in sea urchins

| Cell Type | % in Coelomic Fluid | Function |
|--------------------------|---------------------|---|
| Phagocyte Types | Total phagocytes | Encapsulation, Opsonization, Graft rejection, Chemotaxis, Phagocytosis, Antibacterial activity, Cellular clotting |
| Type 1—Discoidal cells | <i>Sp</i> * 40-80% | |
| Type 2—Polygonal cells | <i>Sd</i> 67% | |
| Type 3—Small phagocytes | <i>Pl</i> 80% | |
| Red spherule cells | <i>Sp</i> 7-40% | Oxygen transport. Antibacterial activity from echinochrome A. |
| | <i>Sd</i> 8% | |
| | <i>Pl</i> 4.7% | |
| Colorless spherule cells | <i>Sp</i> 3.7-25% | Cytotoxicity, Clotting? |
| | <i>Sd</i> 6.5% | |
| | <i>Pl</i> 7.8% | |
| Vibratile cells | <i>Sp</i> 11.9-20% | Movement or agitation of coelomic fluid? Associated with clotting. |
| | <i>Sd</i> 18.5% | |
| | <i>Pl</i> 7.5% | |

Целомоциты морского ежа:



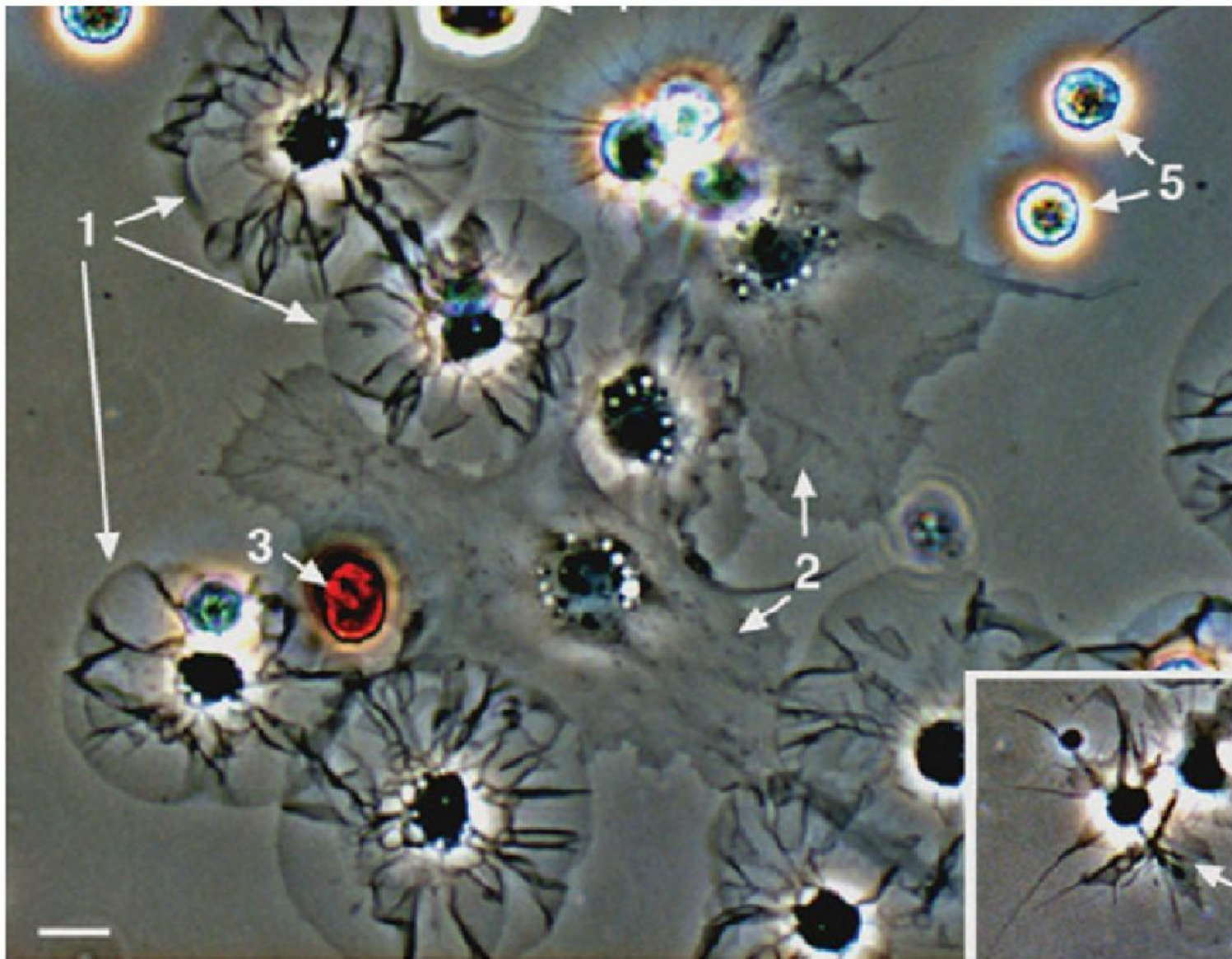
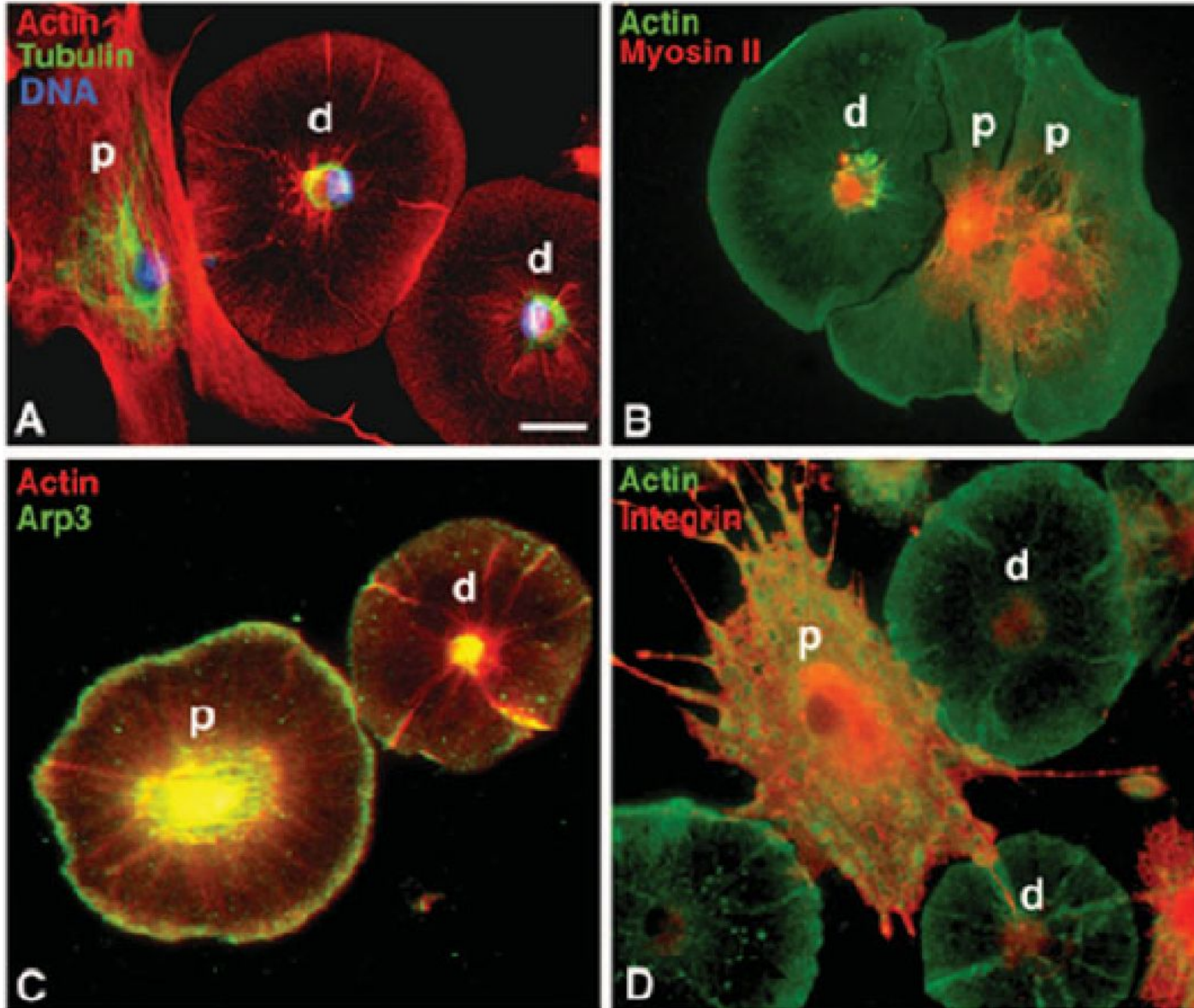
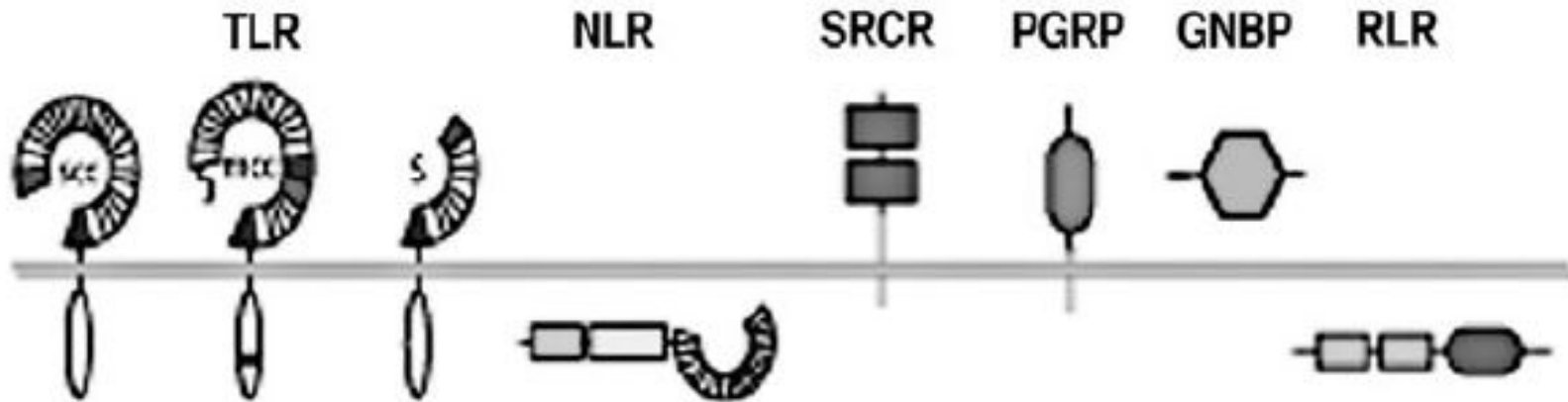


Figure 2. Coelomocytes from the sea urchin *S. droebachiensis*. Cells were withdrawn in anticoagulant and settled onto a glass coverslip. All cell types are shown and labeled with numbers. Large phagocytes; 1 = discoidal phagocyte; 2 = polygonal phagocyte; 3 = red spherule cell; 4 = colorless spherule cell; 5 = vibratile cell (the lower cell has lost the prominent flagellum seen in the upper cell). Inset; 6 = small phagocyte. Bar = 10 microns.

Полигональные и дисковидные фагоциты отличаются организацией цитоскелета

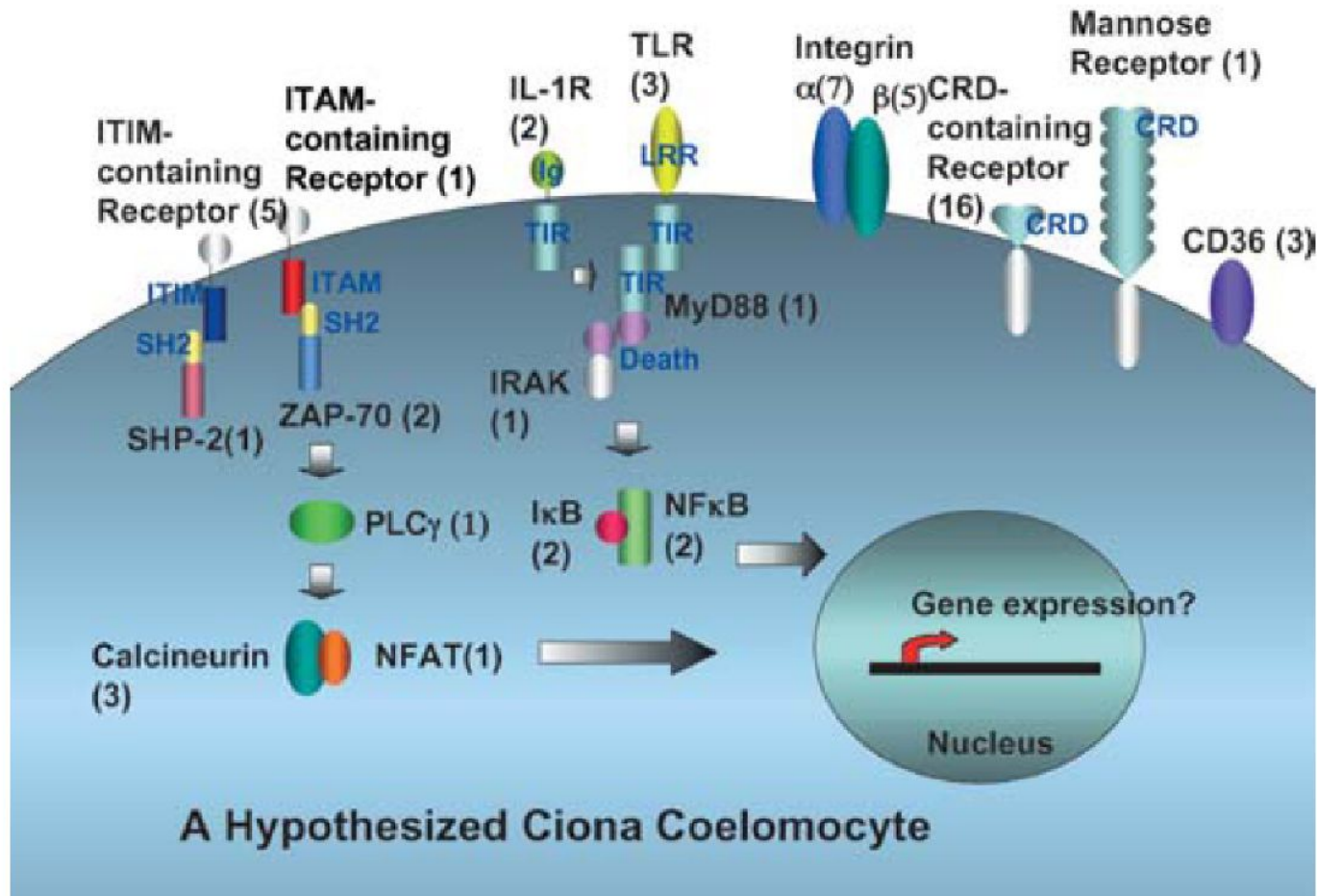


Рецепторные белки иглокожих



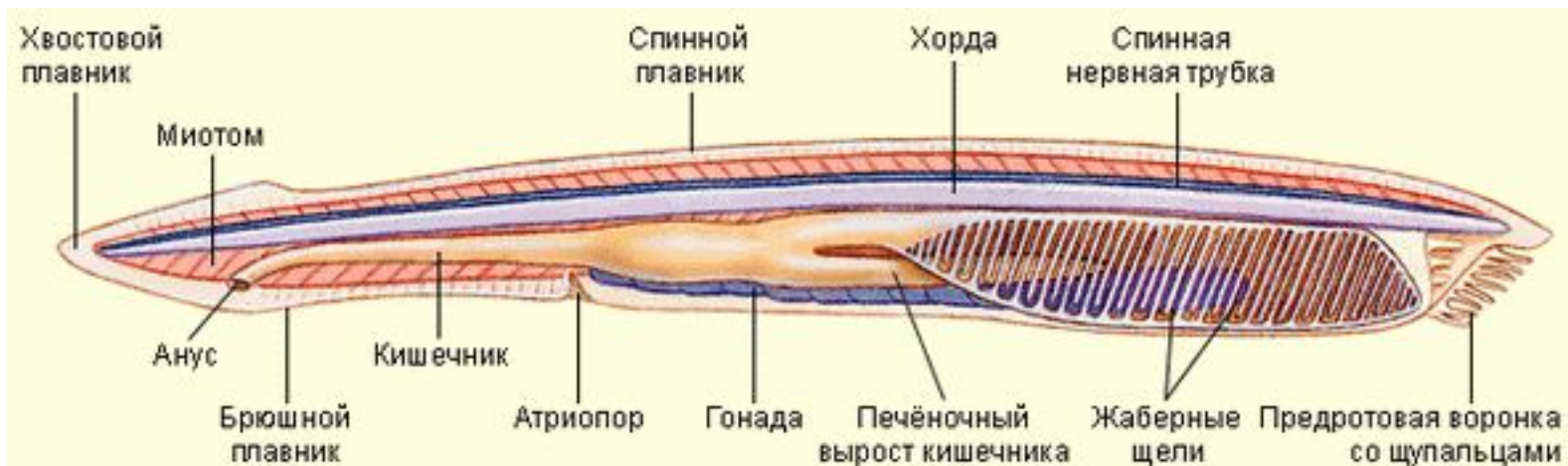
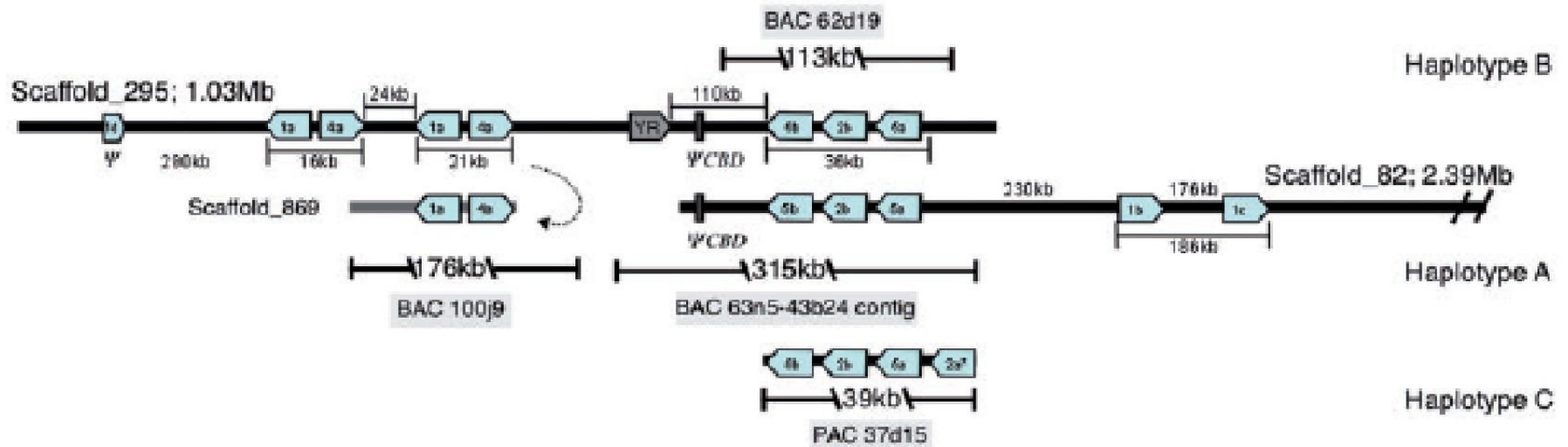
| | | | | | | | | |
|--------------------|------------|----------|----------|----------------|------------------|----------|----------|-----------|
| <i>H.s.</i> | 10(+1Ψ) | 0 | 0 | 22 | 81(16) | 6 | 0 | 3 |
| <i>M.m.</i> | 13 | 0 | 0 | 33 | 118(27) | 4 | 0 | 3 |
| <i>S.p.</i> | 214 | 3 | 5 | >200 | 1095(218) | 5 | 3 | 12 |
| <i>D.m.</i> | 1 | 8 | 0 | 0 | 14(7) | 15 | 4 | 0 |
| <i>C.e.</i> | 0 | 1 | 0 | 0 | 3(1) | 0 | 0 | 0 |

Рецепторы целомоцита асцидии



Гены VCBP у ланцетника

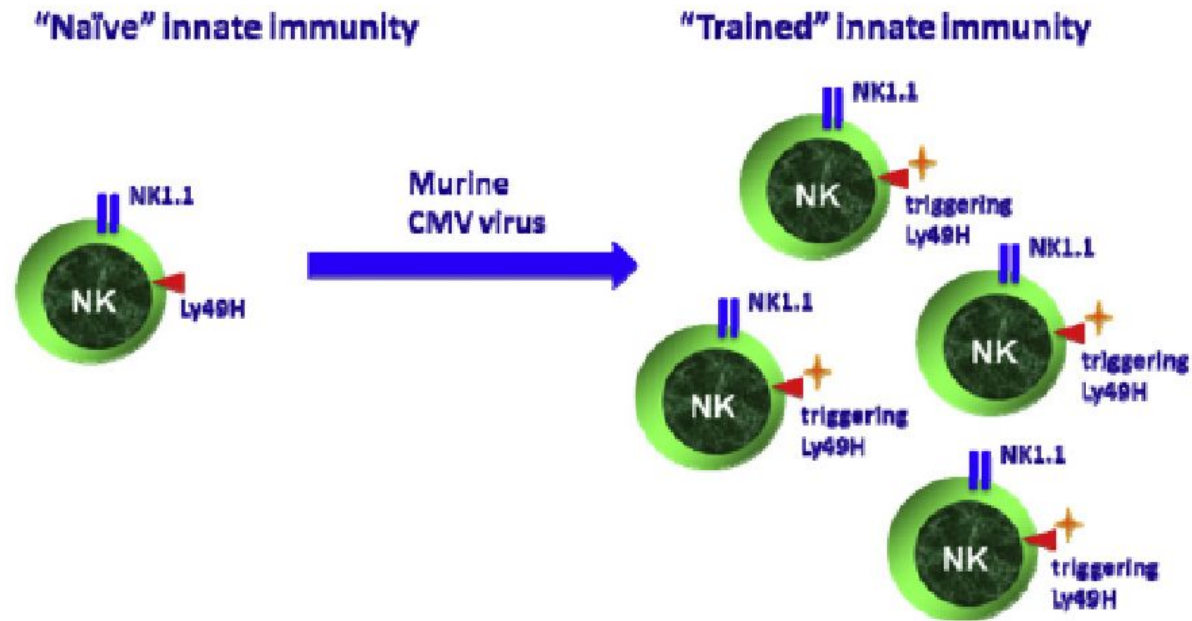
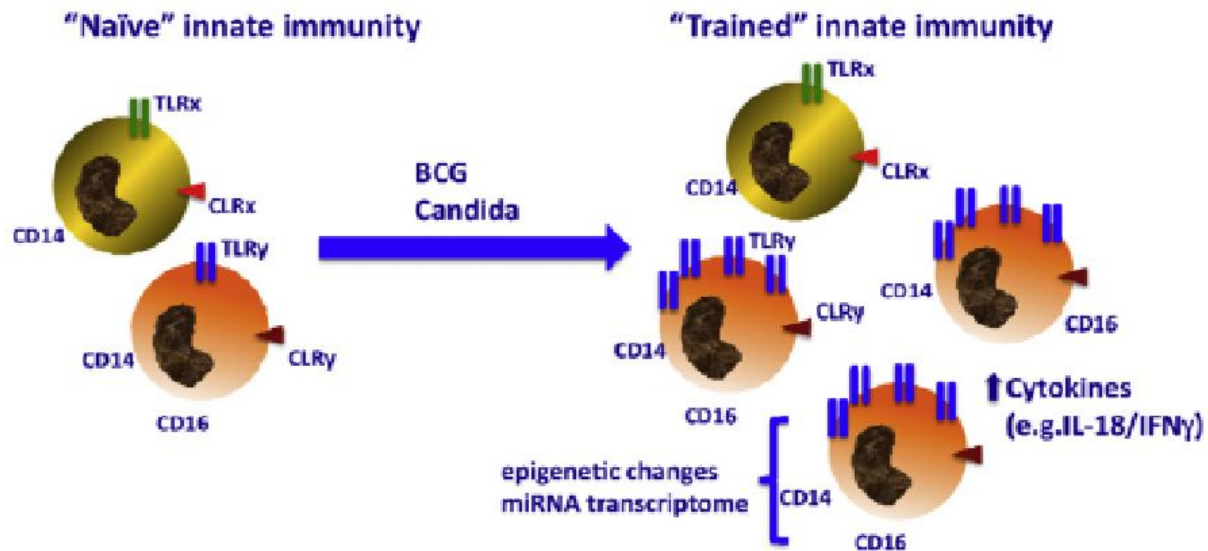
a. Main chromosomal organization of amphioxus VCBP genes



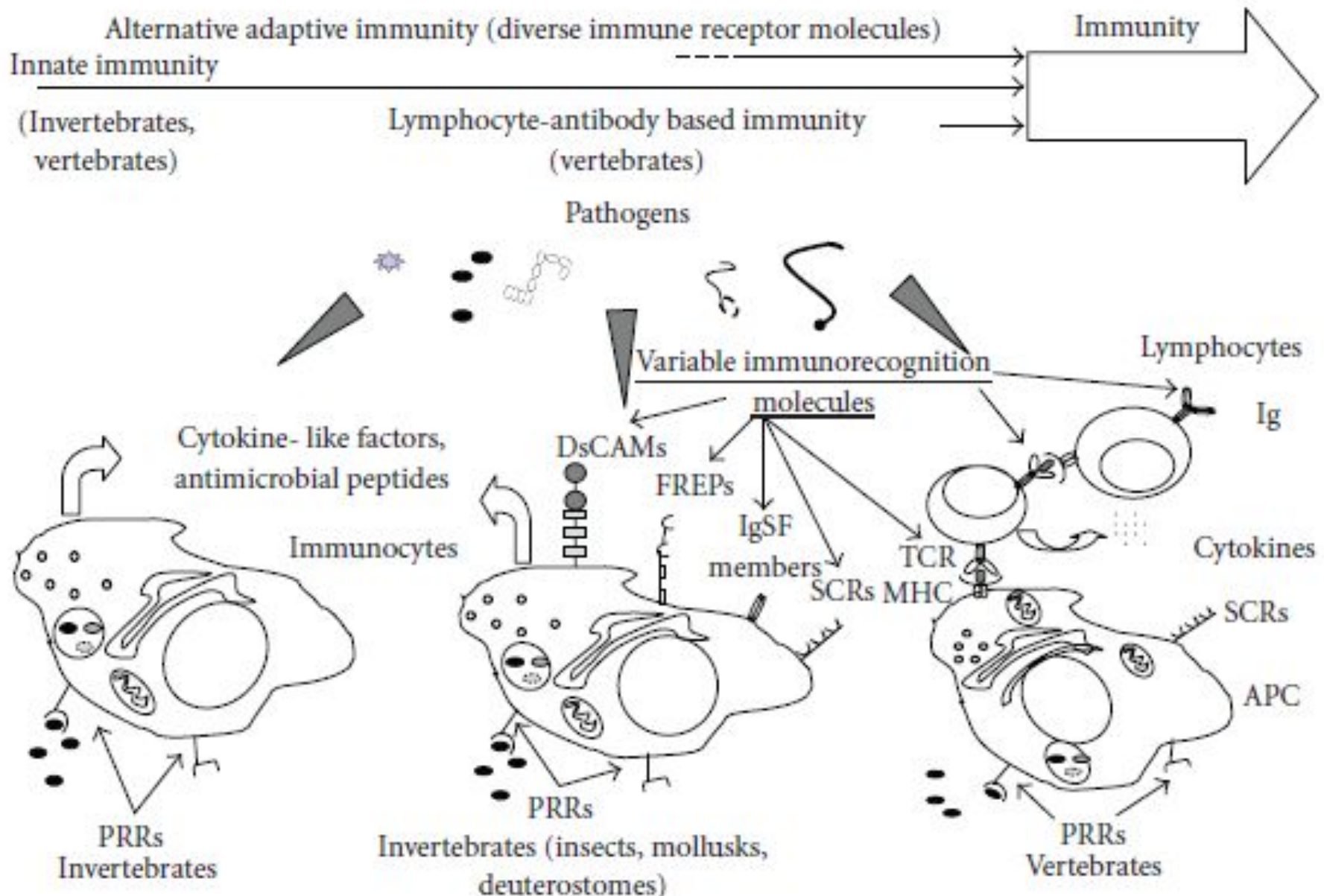
«Тренированный» врождённый иммунитет – аналог адаптивного?

Table 1. Selected Experimental Models in which Biological Activity Compatible with the Concept of Trained Innate Immunity Has Been Reported

| Organism | Experimental Model | Biological Effect | Specificity | References |
|--|-----------------------------------|--|-------------|--|
| Plants – Systemic Acquired Resistance | | | | |
| Large variety of plants | Viruses, bacteria, fungi | Protection against reinfection | Variable | Durrant and Dong, 2004; Sticher et al., 1997 |
| Nonvertebrates | | | | |
| Mealworm beetle | LPS, or bacterial prechallenge | Protection against secondary infection | No | Moret and Siva-Jothy, 2003 |
| <i>Drosophila</i> | <i>S. pneumoniae</i> prechallenge | Protection against <i>S. pneumoniae</i> | Uncertain | Pham et al., 2007 |
| <i>Anopheles gambiae</i> | <i>Plasmodium</i> prechallenge | Protection against <i>Plasmodium</i> | No | Rodrigues et al., 2010 |
| Sponges | Transplantation | Rejection | Yes | Hildemann et al., 1979 |
| Corals | Transplantation | Rejection | Yes | Hildemann et al., 1977 |
| Vertebrates | | | | |
| Mice | BCG | Protection against candidiasis | No | Van 't Wout et al., 1992 |
| Mice | <i>Candida</i> vaccination | T/B cell-independent protection | No | Bistoni et al., 1986, 1988 |
| Mice | Murine CMV infection | NK-dependent protection | No | Sun et al., 2009 |
| Humans | BCG | Nonspecific protection to secondary infections | No | Garly et al., 2003 |

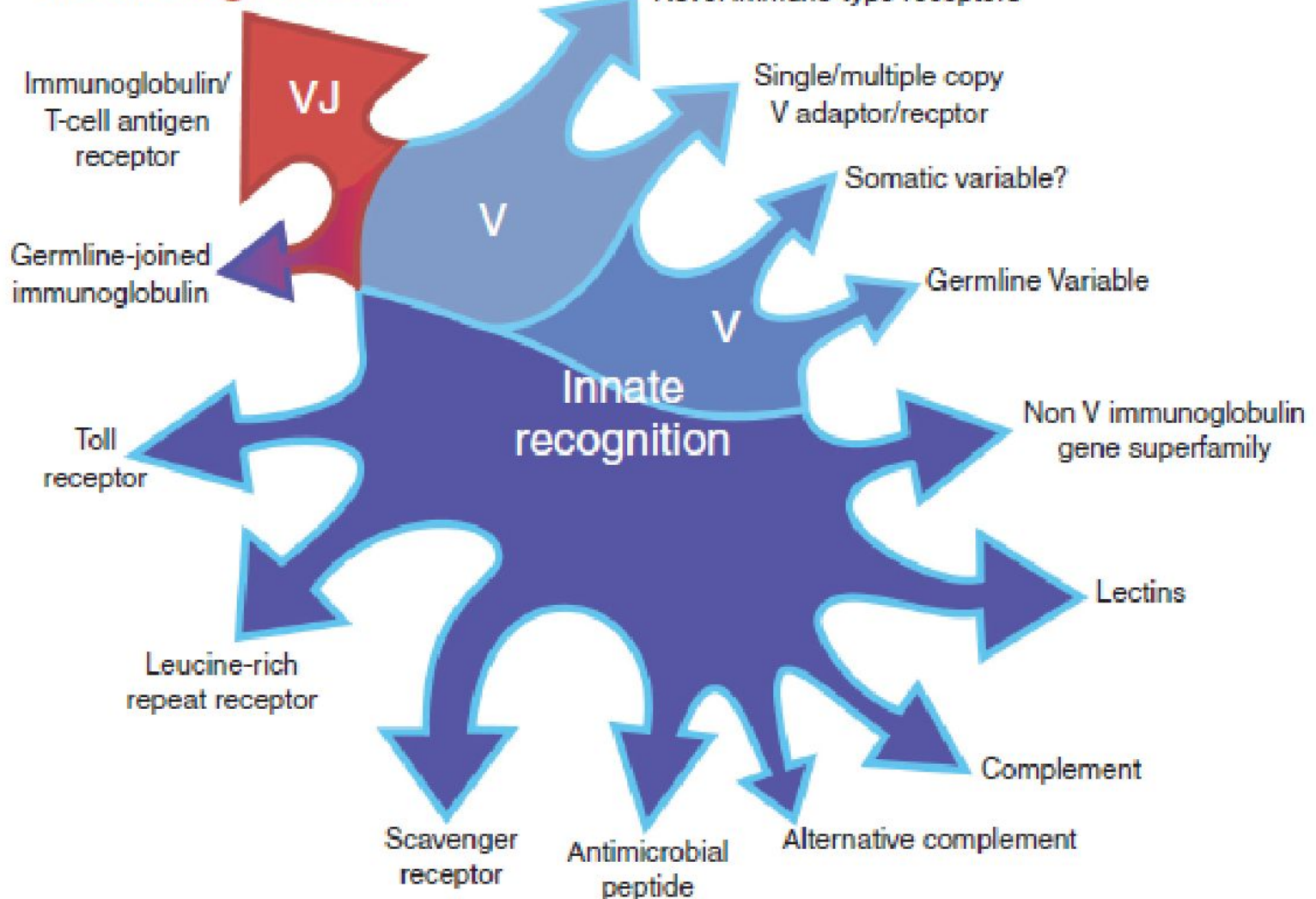
A**B**

Граница между врожденным и адаптивным иммунитетом



Направления эволюции иммунных рецепторов

Rearrangement



- Следующая лекция 26 марта – о трансплантационном иммунитете и возникновении адаптивного иммунитета